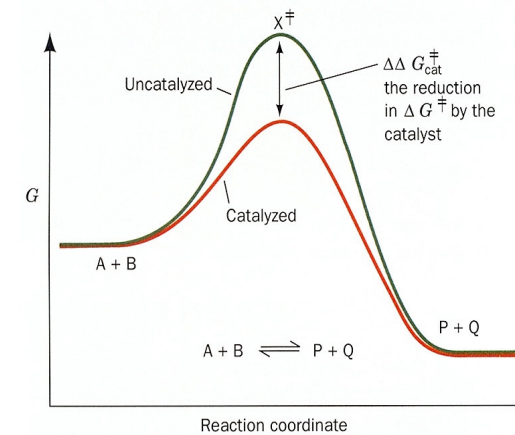


# Enzyme



**Pasteur (1850)**

**force vitale**

**Liebig (1850)**

**Fermente = chemische Substanzen**

**Kühne (1878)**

**„En - zym“ = „in Hefe/Sauerteig“; Trypsin**

**Buchner (1897)**

**zellfreier Hefeextrakt produziert Alkohol**

**Fischer (1894)**

**Schlüssel-Schloss-Prinzip**

**Sumner (1926)**

**Enzyme sind Proteine (Urease)**

**Northrop & Kunitz (1930) Kristallisation von Trypsin, Chymotrypsin, Elastase**

**Substratspezifität**

**Wirkungsspezifität**

**Stereospezifität**

**geometrische Spezifität**

**im Vergleich zu chemischen Katalysatoren:**

- höhere Geschwindigkeit
- mildere Bedingungen
- höhere Spezifität
- regulierbar

# Enzymklassifikation

## ENZYME CLASSIFICATION ACCORDING TO REACTION TYPE

Classification	Type of Reaction Catalyzed	
1. Oxidoreductases	Oxidation – reduction reactions	Dehydrogenasen
2. Transferases	Transfer of functional groups	Kinasen
3. Hydrolases	Hydrolysis reactions	Amylase
4. Lyases	Group elimination to form double bonds	Carboanhydrase
5. Isomerases	Isomerization	Prolin cis/trans Isomerase
6. Ligases	Bond formation coupled with ATP hydrolysis	Aminoacylsynthetase

### EC Nummer:

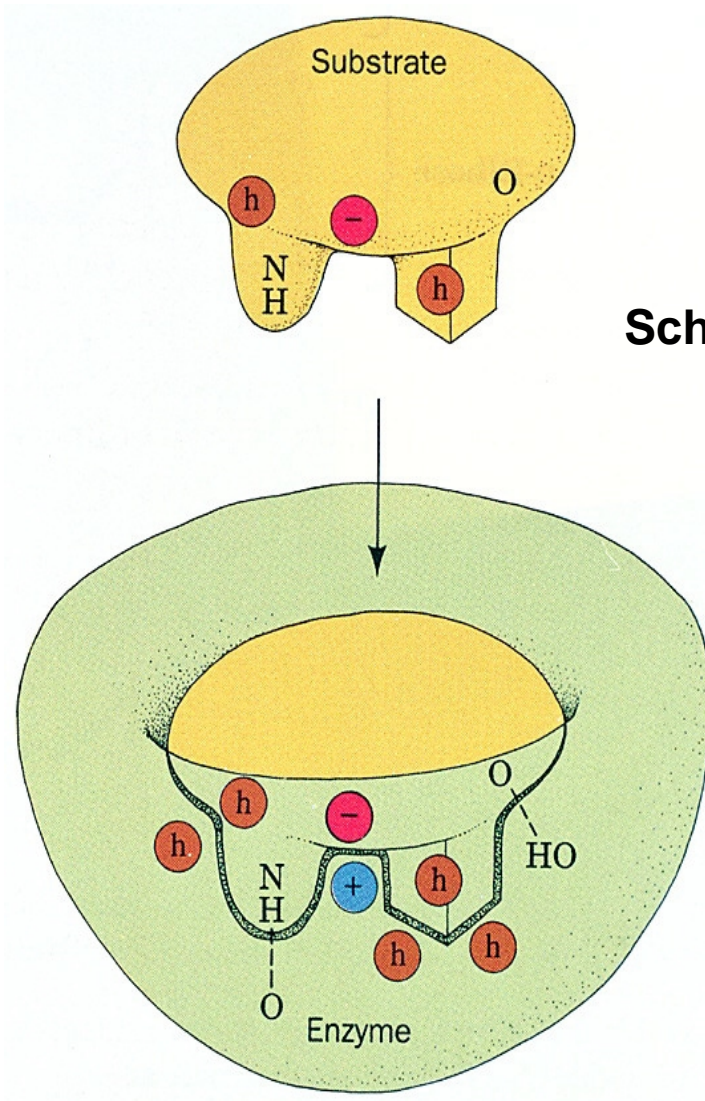
Beispiel Carboxypeptidase, eine Peptidyl-L-aminosäurehydrolase, EC 3.4.17.1;

EC = Enzyme Commission, 3 = Enzymklasse (Hydrolasen),

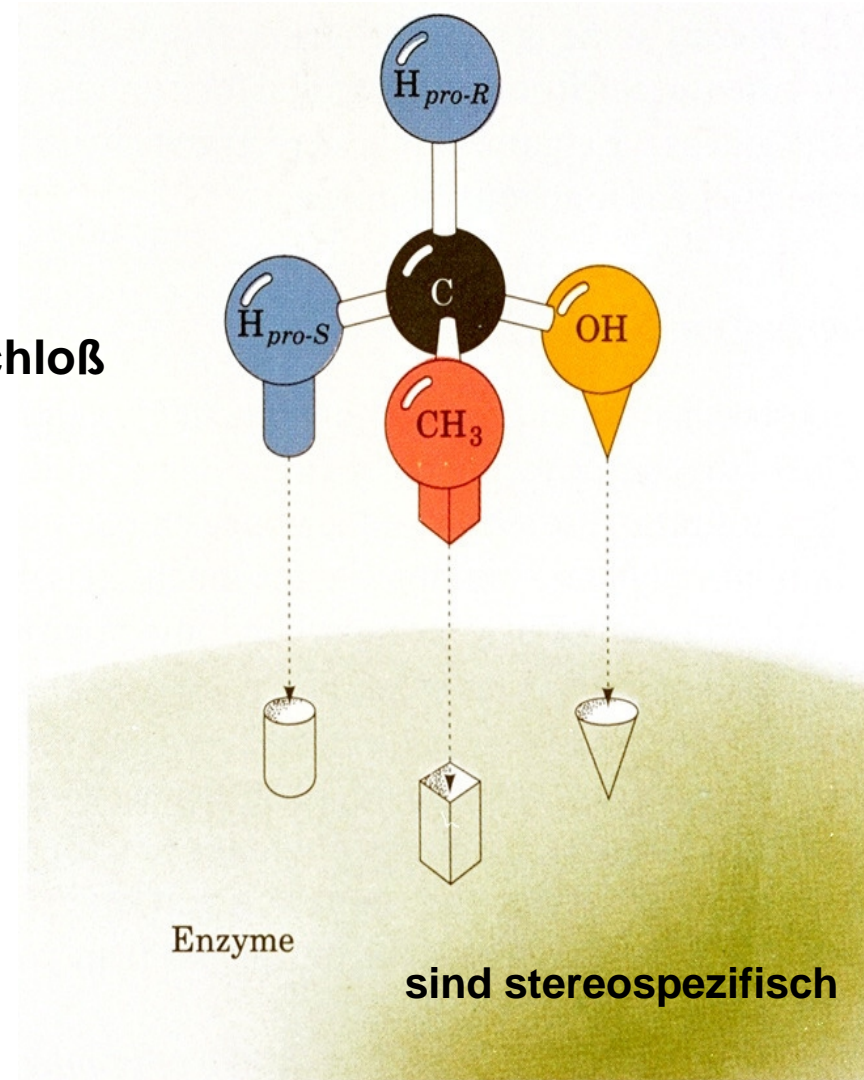
4 = Unterklasse (Peptidasen), 17 = Unterunterklasse (Metallo-carboxypeptidasen),

1 = Nummer des Enzyms in dieser Unterunterklasse

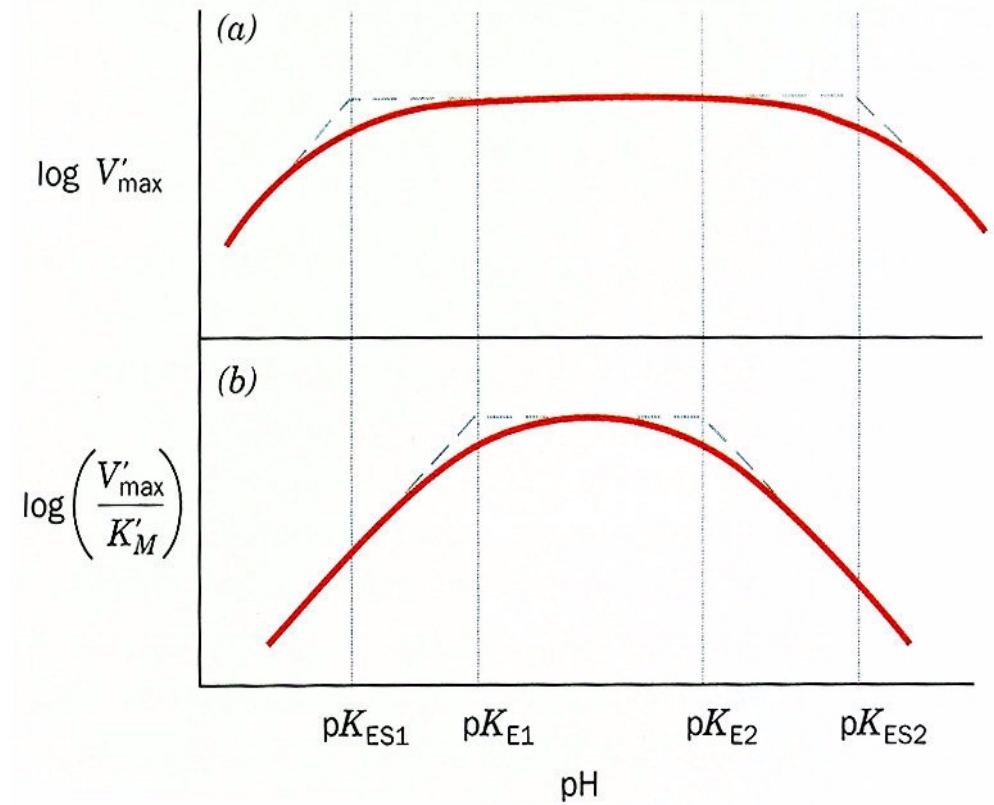
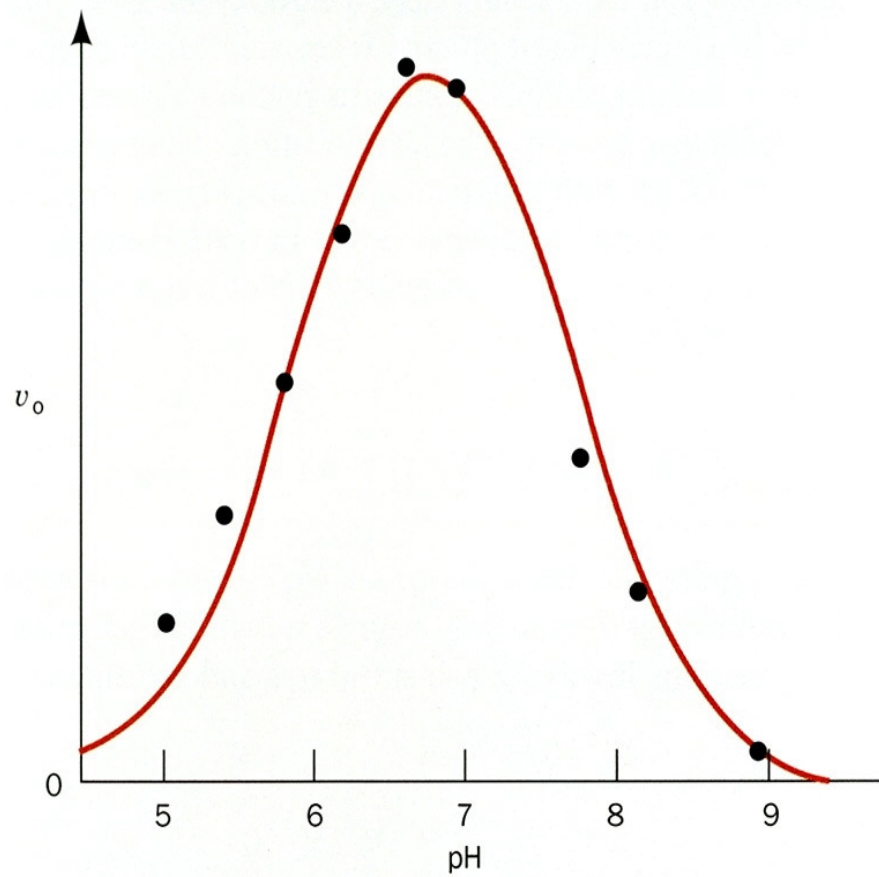
# Enzym-Substratkomplex



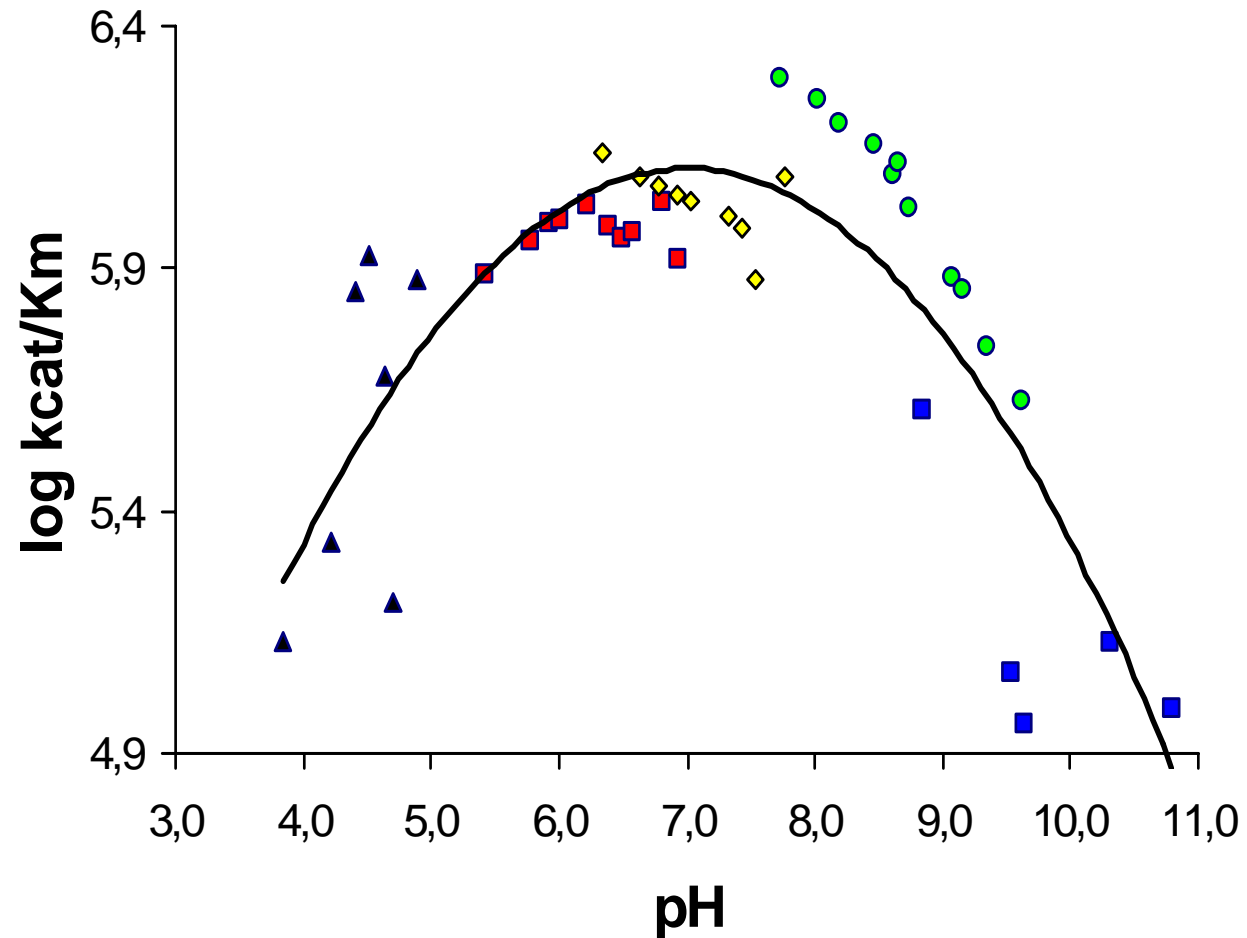
Schlüssel - Schloß  
Prinzip



# pH-Abhängigkeit von Enzymen

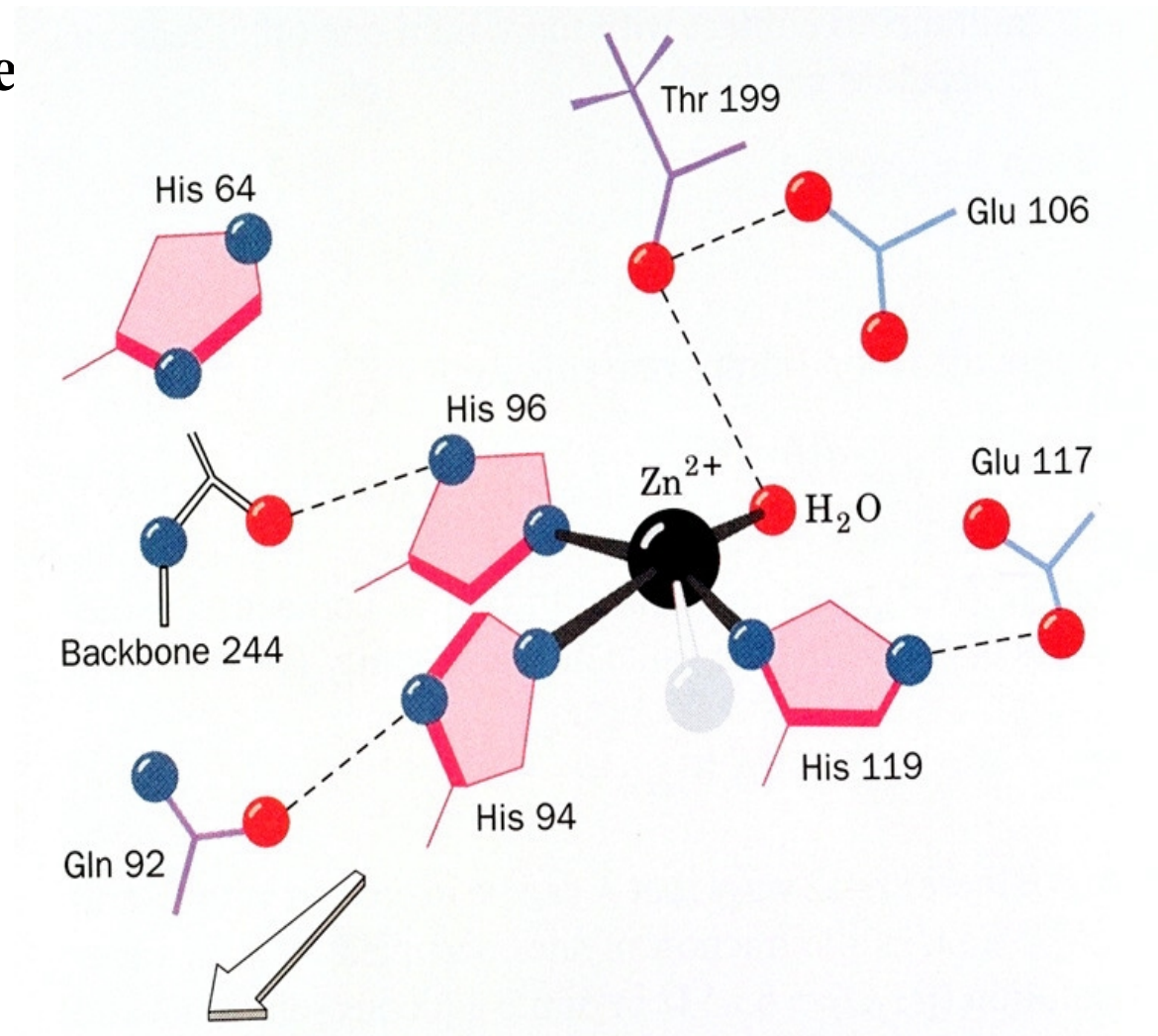


# pH-activity profile of astacin



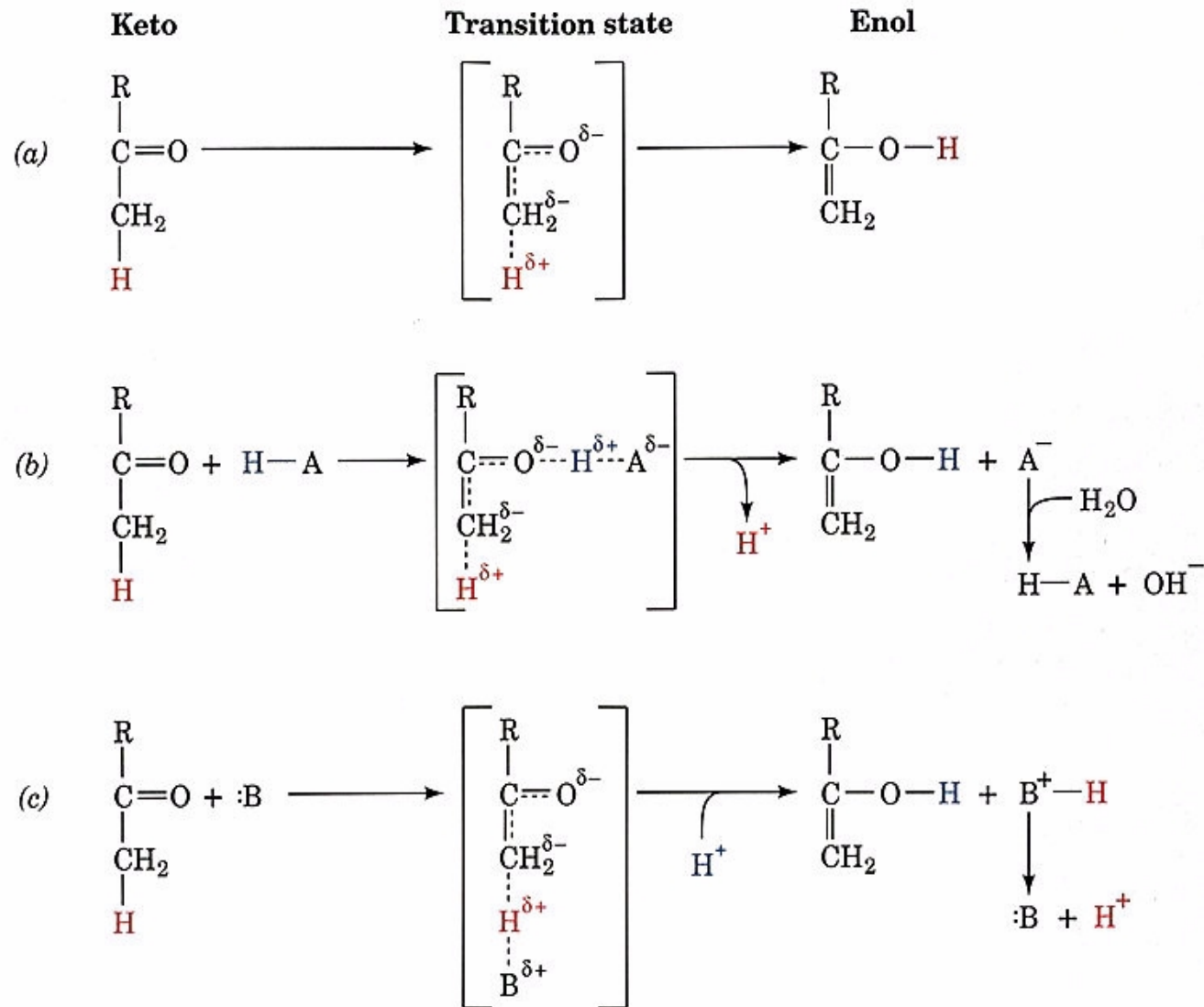
# Metallionenkatalyse

## Carboanhydrase

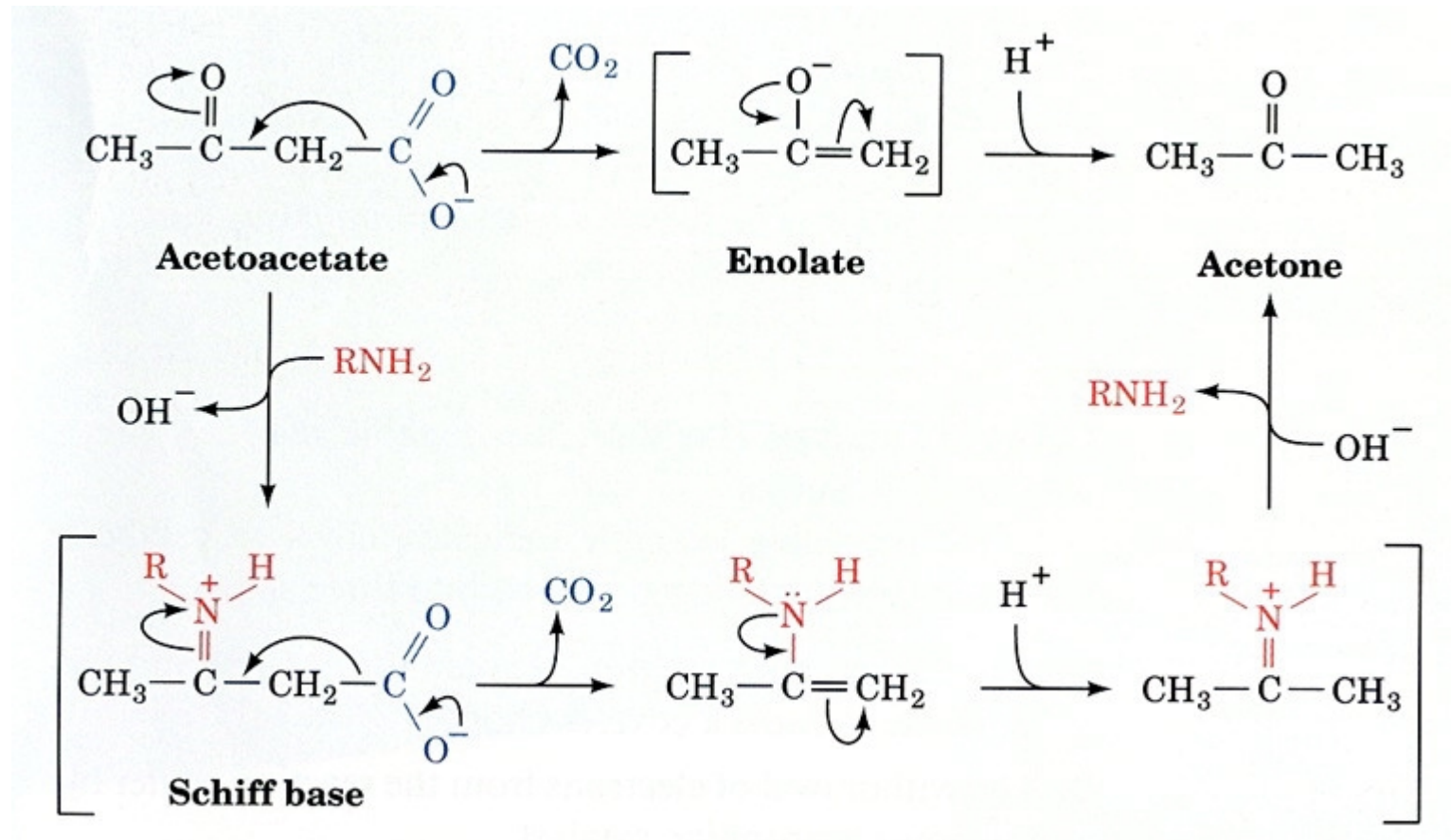


# Säure-Basekatalyse

## Mechanismus der Keto-Enol Tautomerisierung

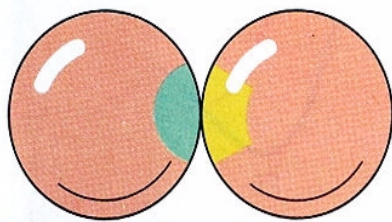
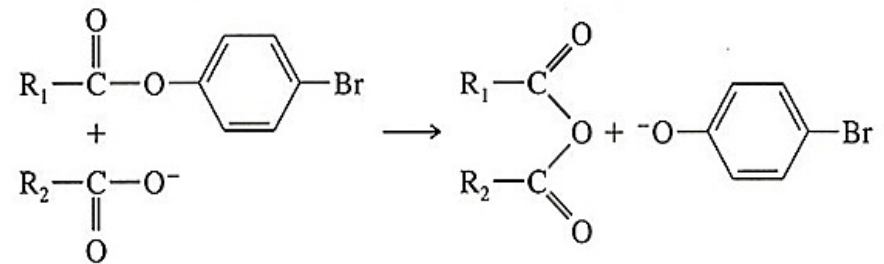


# Decarboxylierung von Acetoacetat über ein kovalentes Zwischenprodukt

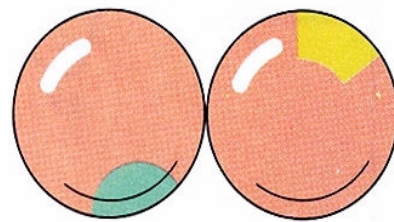




# katalytische Wirkung durch Nachbargruppeneffekte



Productive



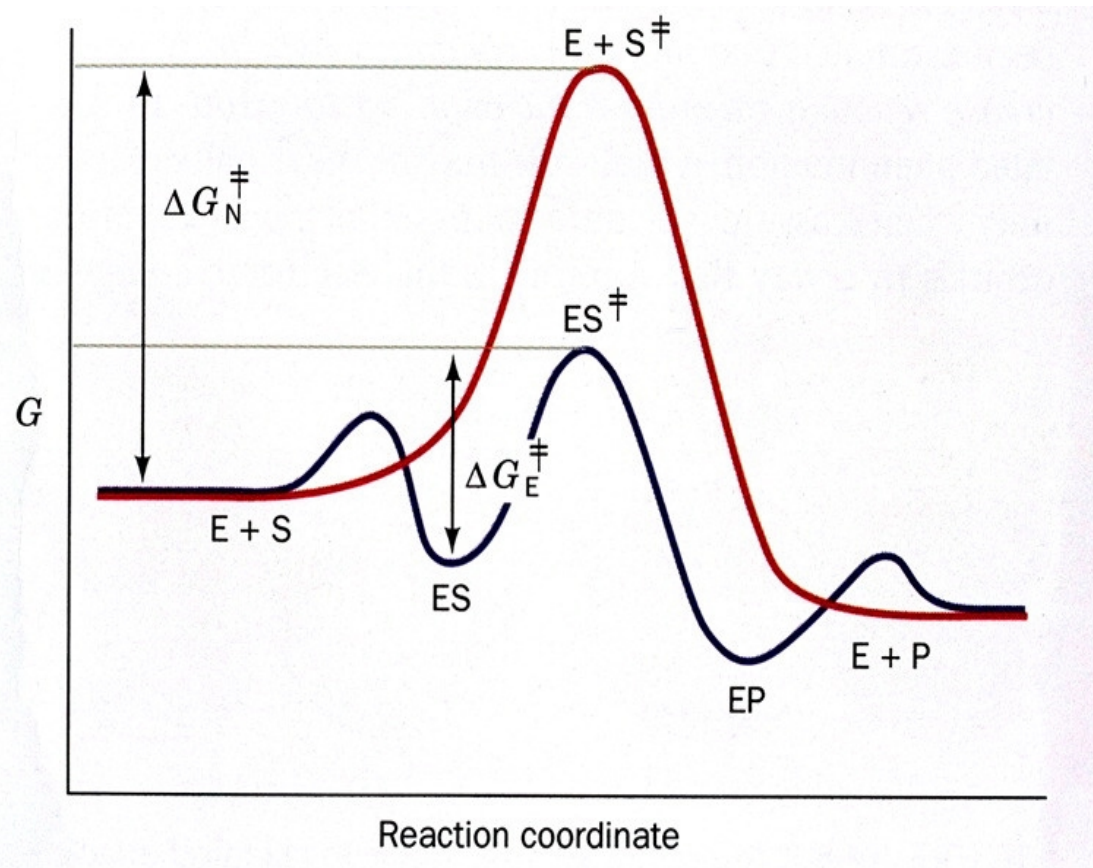
Unproductive

Reactants <sup>a</sup>	Relative Rate Constant
$\text{CH}_3\text{COO}\phi\text{Br}$ + $\text{CH}_3\text{COO}^-$	1.0
	$\sim 1 \times 10^3$
	$\sim 2.2 \times 10^5$
	$\sim 5 \times 10^7$

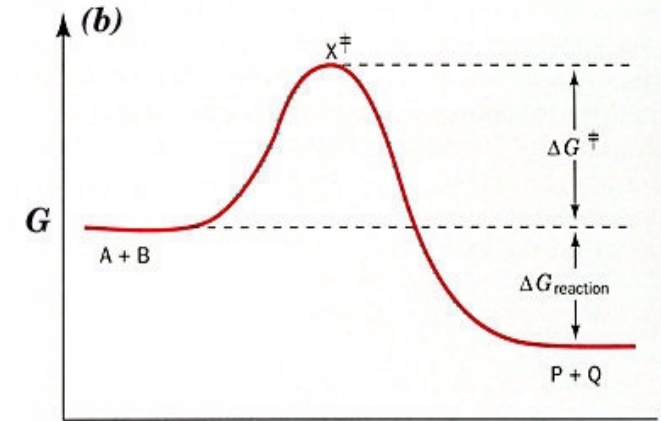
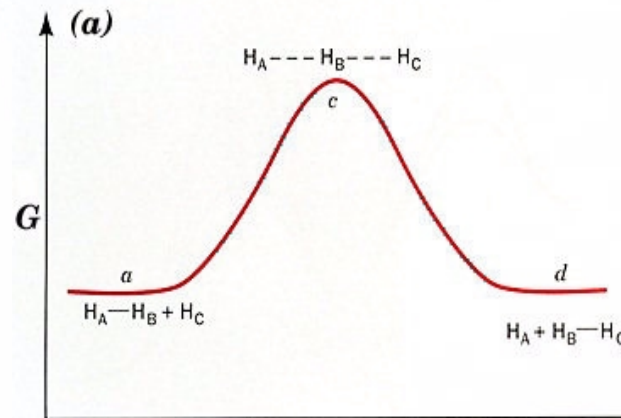
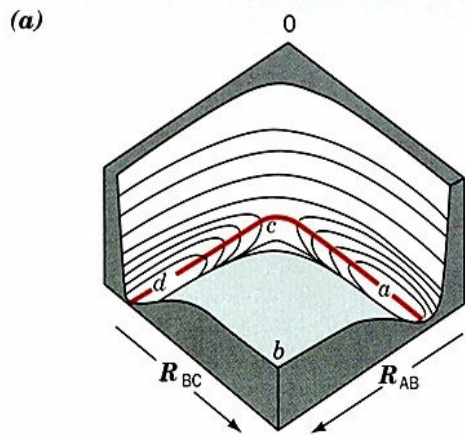
<sup>a</sup> Curved arrows indicate rotational degrees of freedom.

Source: Bruice, T.C., *Annu. Rev. Biochem.* **45**, 353 (1976).

# Katalyse durch Stabilisierung des Übergangszustandes

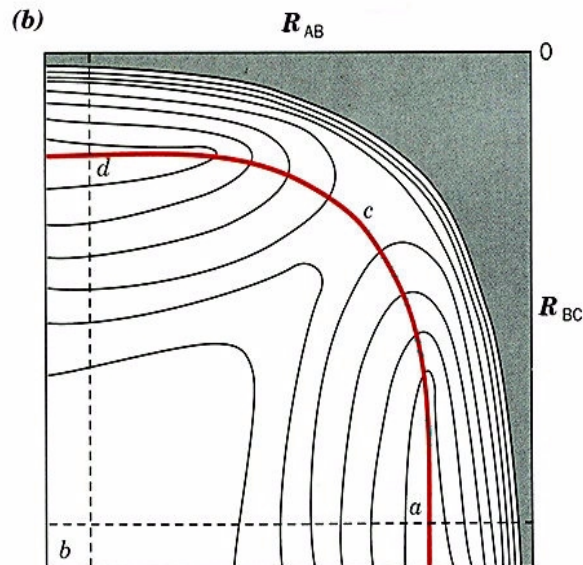


# Theorie des Übergangszustandes



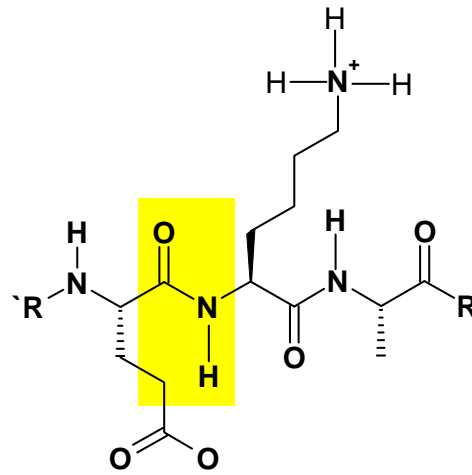
Reaction coordinate

Reaction coordinate

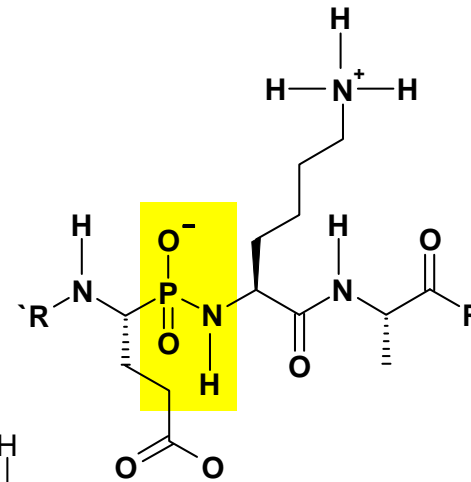
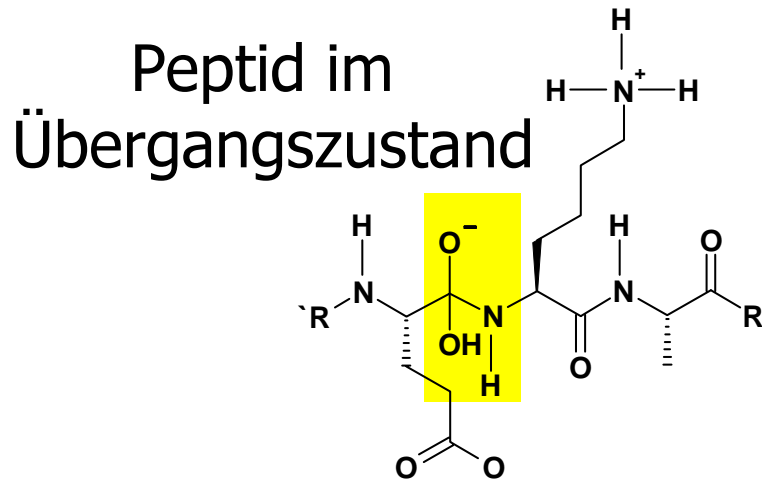


spontane Reaktion

Enzyme binden nicht den Grundzustand besonders gut, sondern den Übergangszustand (ÜZ).

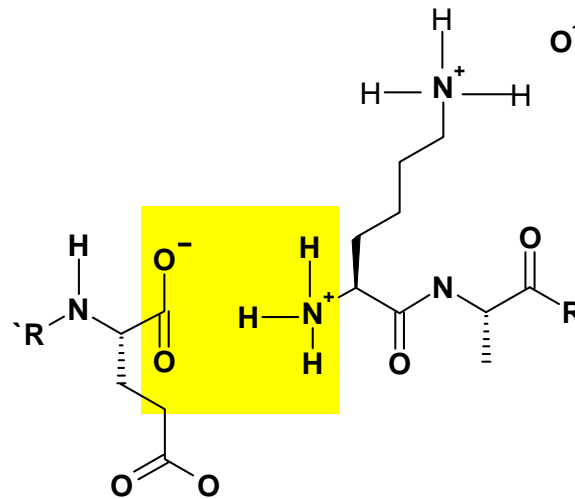


Peptid im Grundzustand



Übergangszustand -Analogon

Hydrolysiertes Peptid



# Katalytische Antikörper

William Jencks (1969)

Prinzip:

Antikörper binden mit hoher Affinität an Peptide, Kohlenhydrate, Nucleinsäuren, Lipide, usw. Sie binden den „Grundzustand“.

Enzyme binden nicht den Grundzustand einer Struktur sondern den „Übergangszustand“.

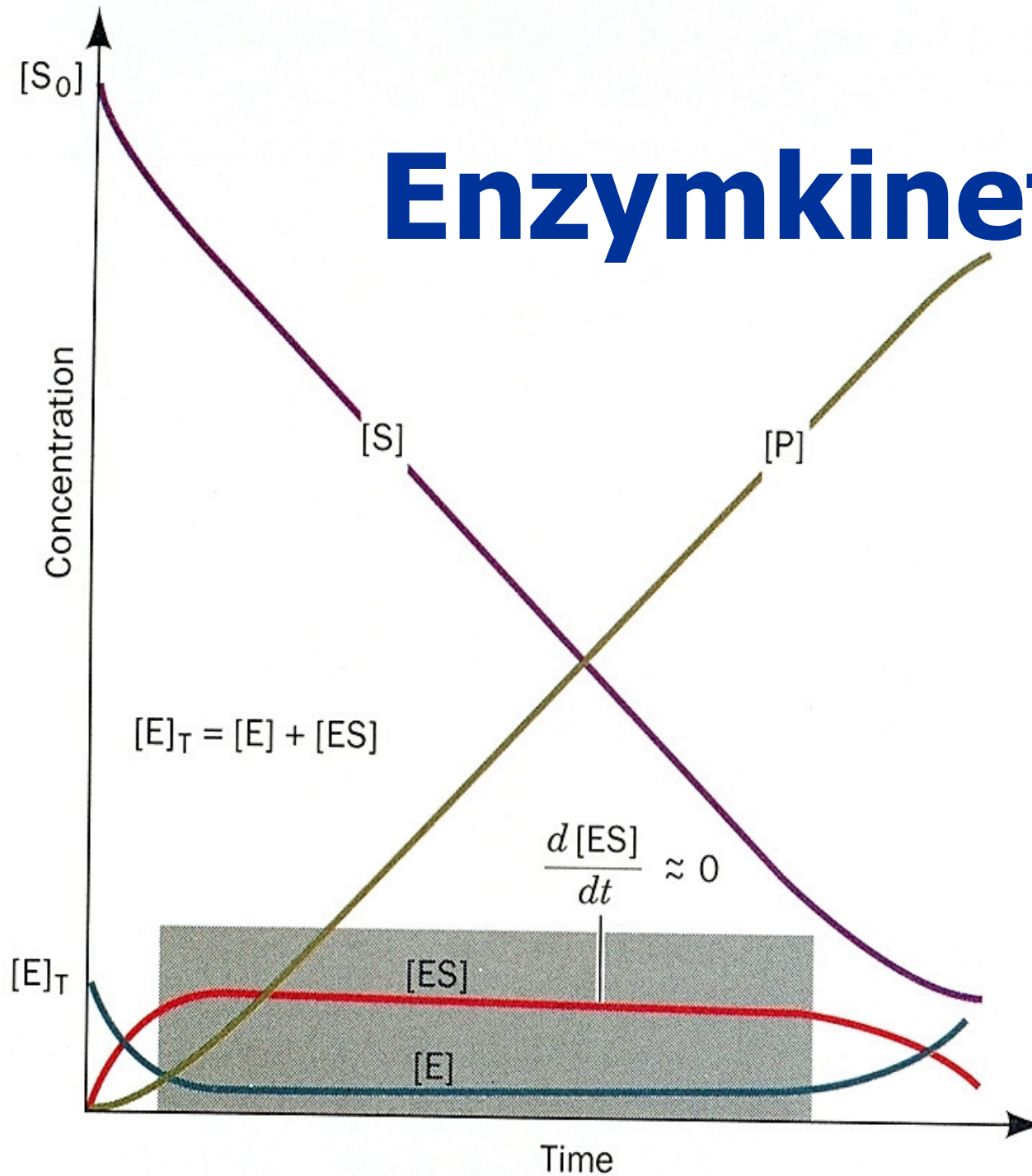
Dadurch erhöhen sie die Existenzdauer dieses Übergangszustandes und ermöglichen dadurch, dass eine Reaktion leichter ablaufen kann (Katalysatorfunktion).

# Antikörper gegen den ÜZ

-Immunisiert man ein Wirbeltier mit einem Analogon des ÜZ einer chemischen Reaktion, so erhält man Antikörper, die den ÜZ dieser Reaktion stabilisieren.

- Dadurch können diese Antikörper als Katalysatoren wirken, weil sie die Wahrscheinlichkeit der Existenz des ÜZ erhöhen.

# Enzymkinetik



# Die Kinetik der Invertinwirkung.

Von

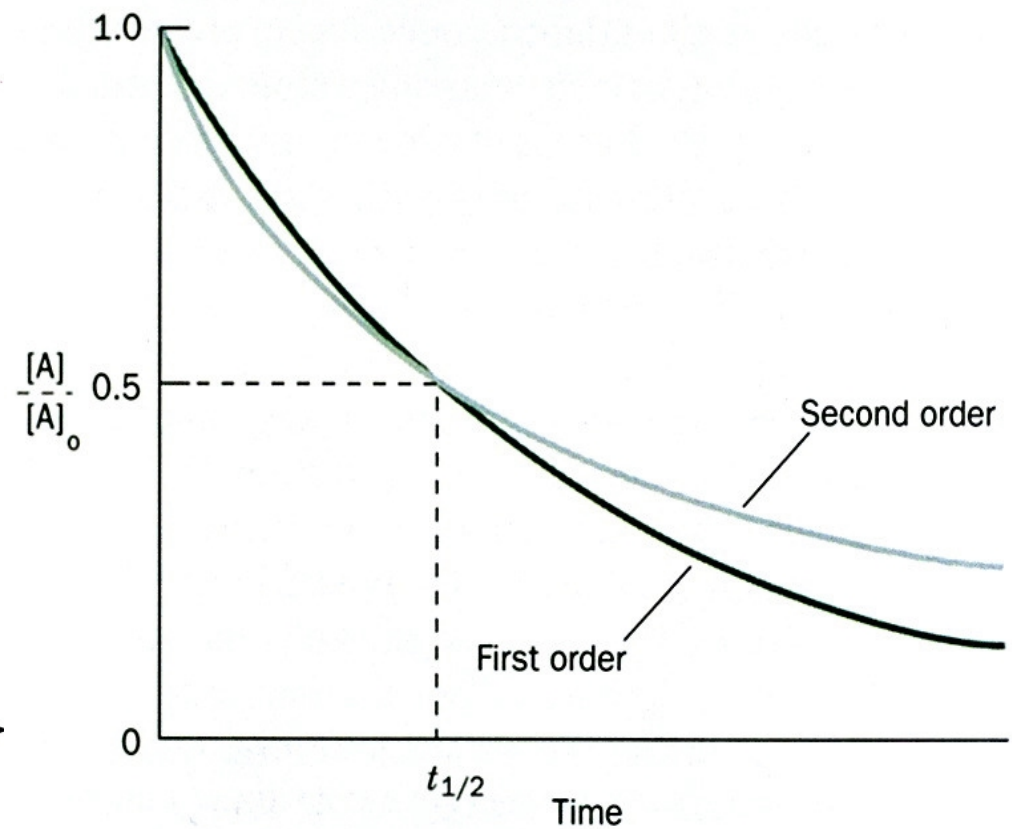
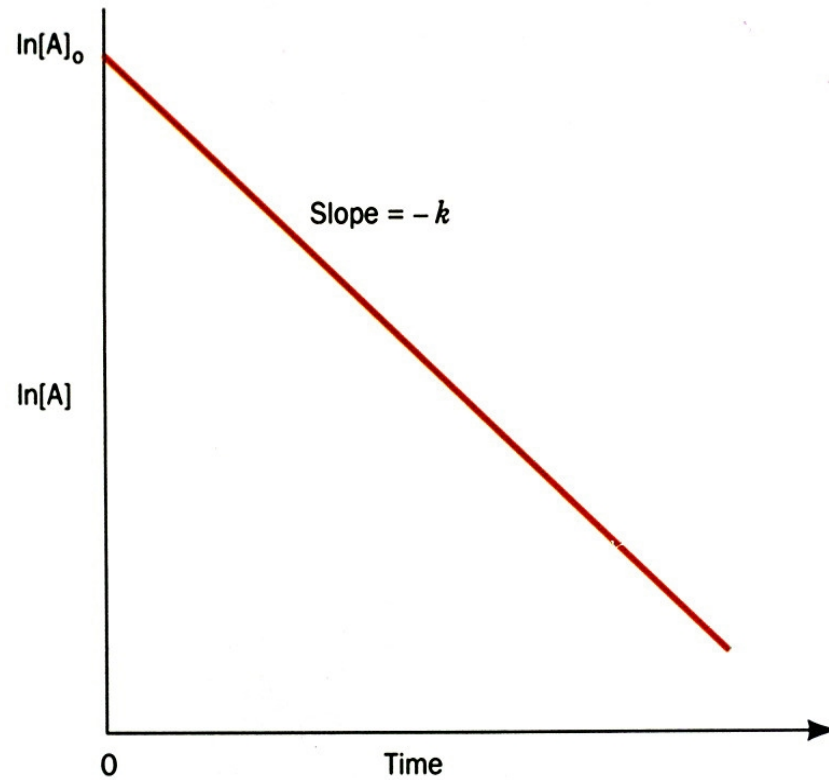
L. Michaelis und Miß Maud L. Menten.

*(Eingegangen am 4. Februar 1913.)*

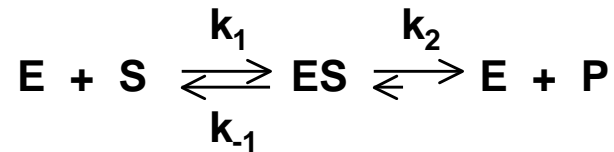
Mit 19 Figuren im Text.



# Enzymkinetik



# Enzymkinetik



$$[E]_t = [E] + [ES] \quad (4)$$

$$v = \frac{d[P]}{dt} = k_2[ES] \quad (1)$$

aus (2,3,4)

$$k_1([E]_t - [ES])[S] = (k_{-1} + k_2)[ES]$$

$$\frac{d[ES]}{dt} = k_1[E][S] - k_{-1}[ES] - k_2[ES] \quad (2)$$

$$[ES](k_{-1} + k_2 + k_1[S]) = k_1[E]_t[S]$$

**1. Annahme: Gleichgewicht**  
(Henri, Michaelis, Menten)  $k_{-1} \gg k_2$

$$[ES] = \frac{[E]_t[S]}{K_m + [S]} \quad (5) \text{ wobei } K_m = \frac{k_{-1} + k_2}{k_1} \quad (6)$$

$$K_s = \frac{k_{-1}}{k_1} = \frac{[E][S]}{[ES]}$$

(5) in (1)

$$v = \frac{d[P]}{dt} = k_2[ES] = \frac{k_2[E]_t[S]}{K_m + [S]}$$

**2. Annahme: Fließgleichgewicht (steady state)**  
(Briggs, Haldane)  $[ES] = \text{const.}$

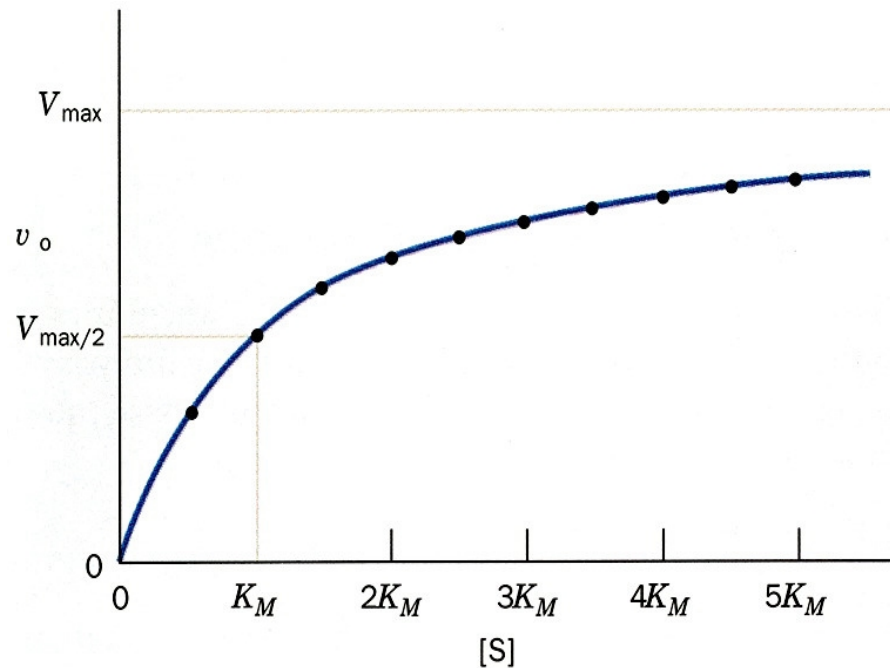
$$\frac{d[ES]}{dt} = 0 \quad (3)$$

$$V_{\max} = k_2[E]_t \quad v = \frac{V_{\max}[S]}{K_m + [S]}$$

# Michaelis-Menten-Kinetik

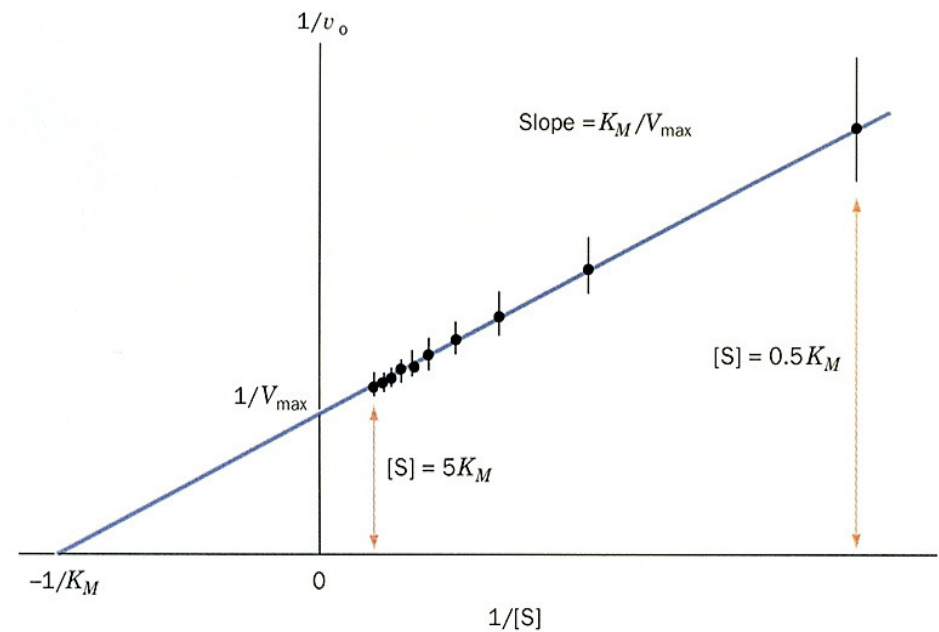
Michaelis-Menten Diagramm

$$v = \frac{V_{\max} [S]}{K_m + [S]}$$



Lineweaver-Burk Diagramm

$$1/v = \frac{K_m}{V_{\max}} \times \frac{1}{[S]} + \frac{1}{V_{\max}}$$



# kinetische Parameter von Enzymen

Umsatzzahl:

Spezifitätskonstante

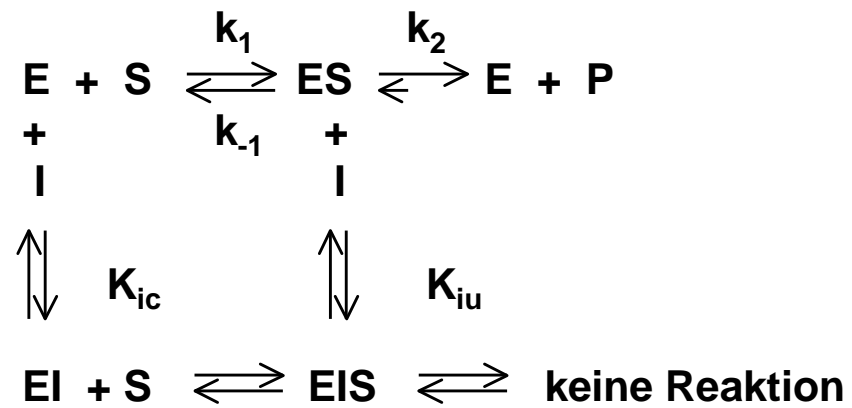
(Geschwindigkeitskonstante 2. Ord.)

$$k_2 = k_{\text{cat}} = \frac{V_{\text{max}}}{[E]_t} \quad ; \quad \text{für } [S] \ll K_m \text{ folgt: } v = \frac{k_{\text{cat}}}{K_m} [S] [E]_t$$

$k_{\text{cat}}/K_m = k_2/K_m = k_1 \times k_2 / k_{-1} + k_2$ ; max., wenn  $k_2 \gg k_{-1}$ ; also wenn Produktbildung favorisiert ist vor Dekomp. des [ES]. Aber  $k_1$  ist maximal so groß wie die Frequenz der Molekülzusammenstöße.

Enzyme	Substrate	$K_M (M)$	$k_{\text{cat}} (s^{-1})$	$k_{\text{cat}}/K_M (M^{-1} s^{-1})$
Acetylcholinesterase	Acetylcholine	$9.5 \times 10^{-5}$	$1.4 \times 10^4$	$1.5 \times 10^8$
Carbonic anhydrase	CO <sub>2</sub>	$1.2 \times 10^{-2}$	$1.0 \times 10^6$	$8.3 \times 10^7$
	HCO <sub>3</sub> <sup>-</sup>	$2.6 \times 10^{-2}$	$4.0 \times 10^5$	$1.5 \times 10^7$
Catalase	H <sub>2</sub> O <sub>2</sub>	$2.5 \times 10^{-2}$	$1.0 \times 10^7$	$4.0 \times 10^8$
Chymotrypsin	<i>N</i> -Acetylglycine ethyl ester	$4.4 \times 10^{-1}$	$5.1 \times 10^{-2}$	$1.2 \times 10^{-1}$
	<i>N</i> -Acetylvaline ethyl ester	$8.8 \times 10^{-2}$	$1.7 \times 10^{-1}$	1.9
	<i>N</i> -Acetyltyrosine ethyl ester	$6.6 \times 10^{-4}$	$1.9 \times 10^2$	$2.9 \times 10^5$
Fumarase	Fumarate	$5.0 \times 10^{-6}$	$8.0 \times 10^2$	$1.6 \times 10^8$
	Malate	$2.5 \times 10^{-5}$	$9.0 \times 10^2$	$3.6 \times 10^7$
Urease	Urea	$2.5 \times 10^{-2}$	$1.0 \times 10^4$	$4.0 \times 10^5$

# Enzymhemmung

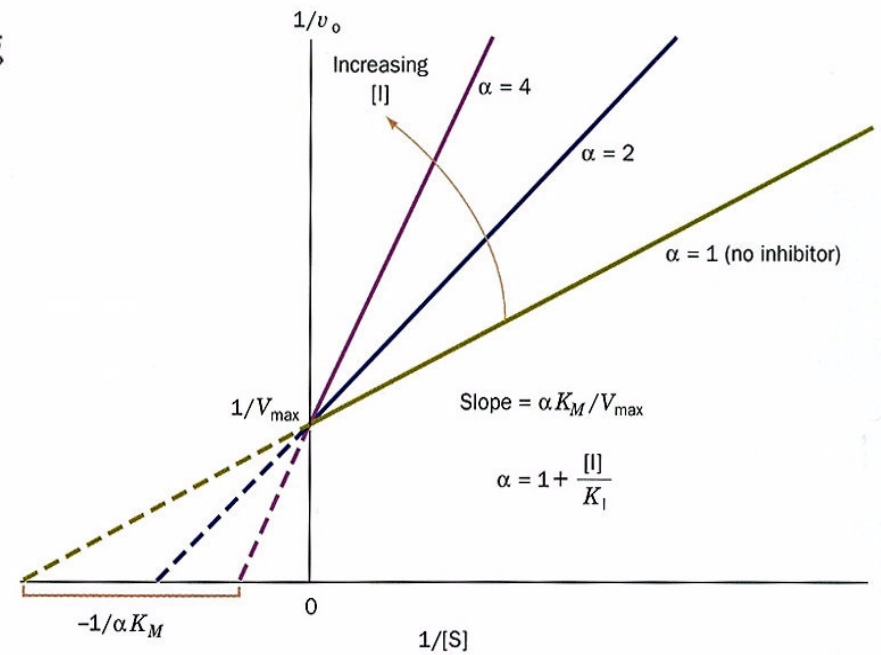
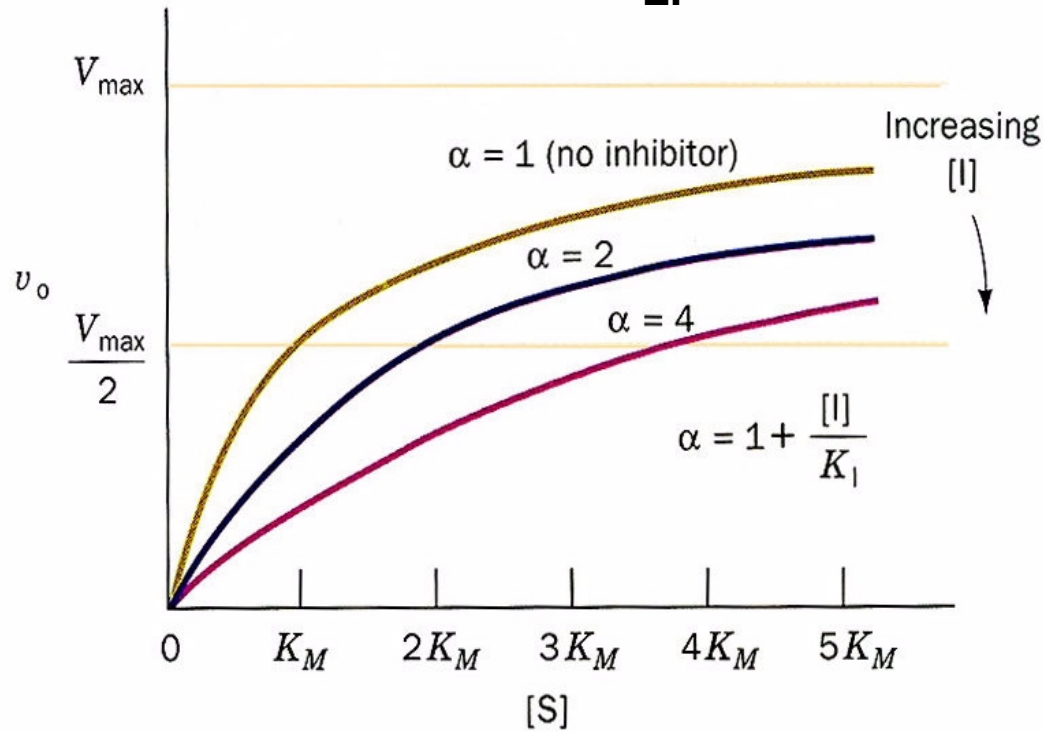
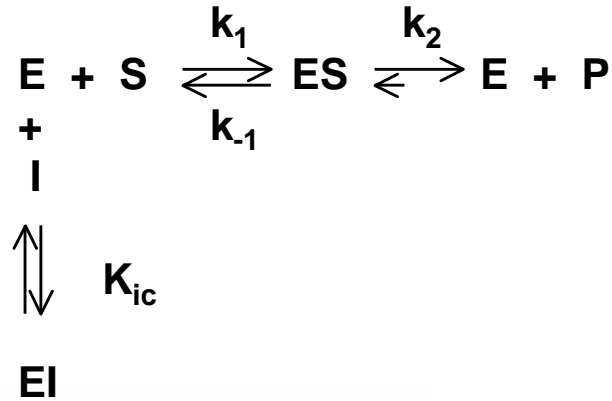


# Inhibitor kinetik

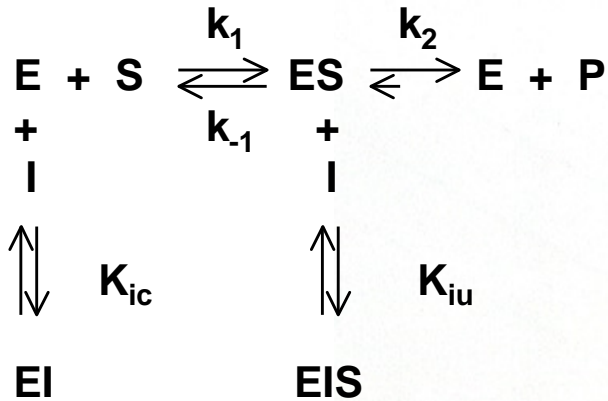
$$v = \frac{V_{\max} [S]}{K_m + [S]}; \quad 1/v = \frac{K_m}{V_{\max}} \times \frac{1}{[S]} + \frac{1}{V_{\max}}$$

$$v = \frac{V_{\max} [S]}{K_m (1 + [I]/K_i) + [S]}; \quad 1/v = \frac{K_m (1 + [I]/K_i)}{V_{\max}} \times \frac{1}{[S]} + \frac{1}{V_{\max}}$$

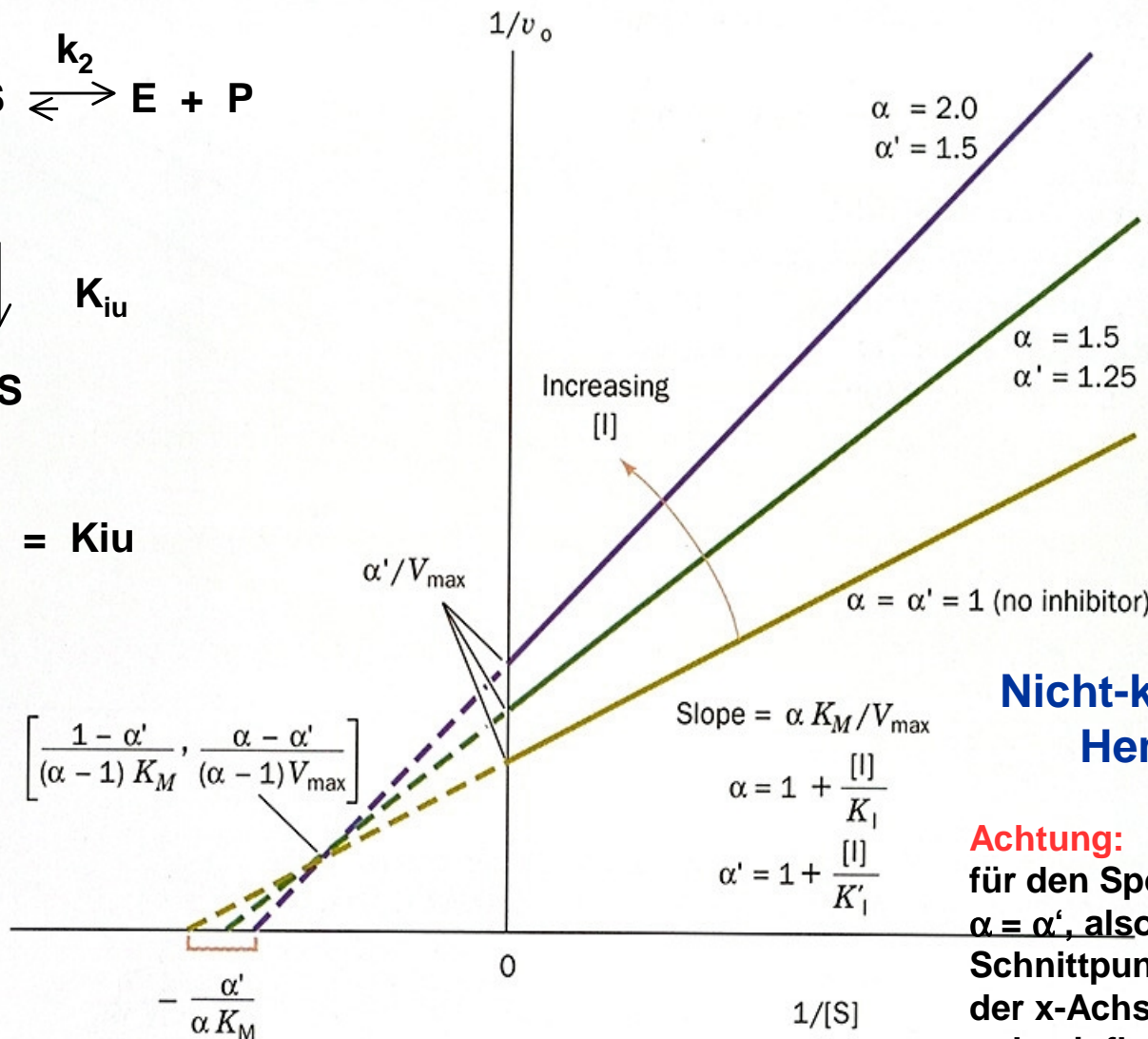
# kompetitive Hemmung



# Gemischte Hemmung



Spezialfall:  $K_{ic} = K_{iu}$

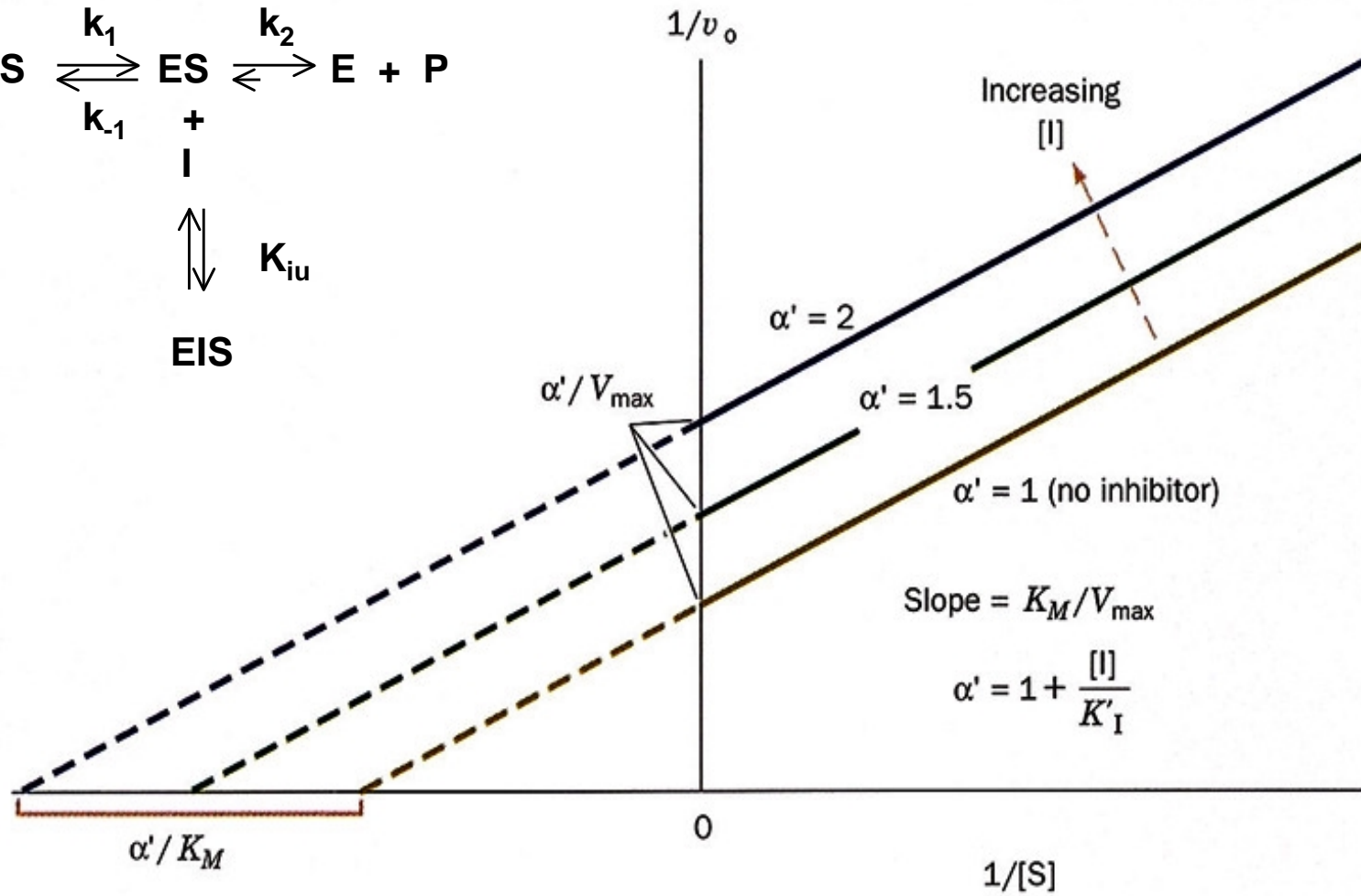
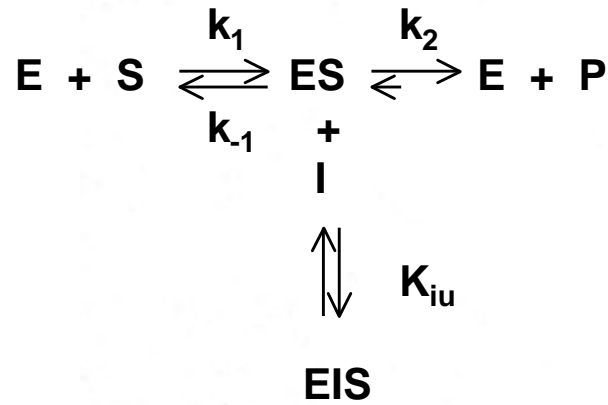


**Nicht-kompetitive Hemmung**

**Achtung:**  
 für den Spezialfall  $\alpha = \alpha'$ , also  $K_{ic} = K_{iu}$ , liegt der Schnittpunkt der Geraden auf der x-Achse, d.h.  $K_m$  bleibt unbeeinflusst.



# Unkompetitive Hemmung

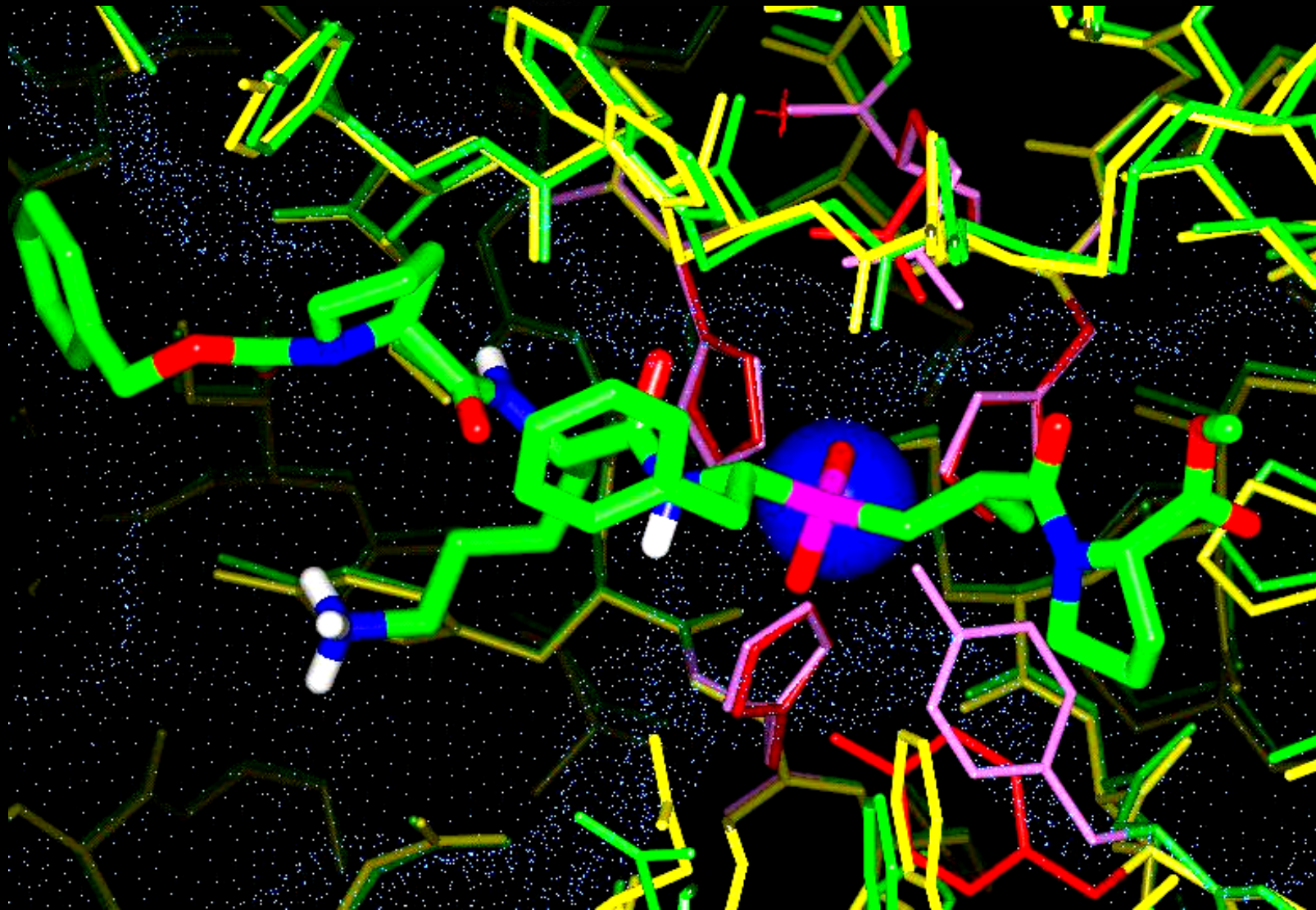


# Reversible Enzymhemmung

Type of Inhibition	$V_{\max}^{\text{app}}$	$K_M^{\text{app}}$
None	$V_{\max}$	$K_M$
Competitive	$V_{\max}$	$\alpha K_M$
Uncompetitive	$V_{\max}/\alpha'$	$K_M/\alpha'$
Mixed	$V_{\max}/\alpha'$	$\alpha K_M/\alpha'$

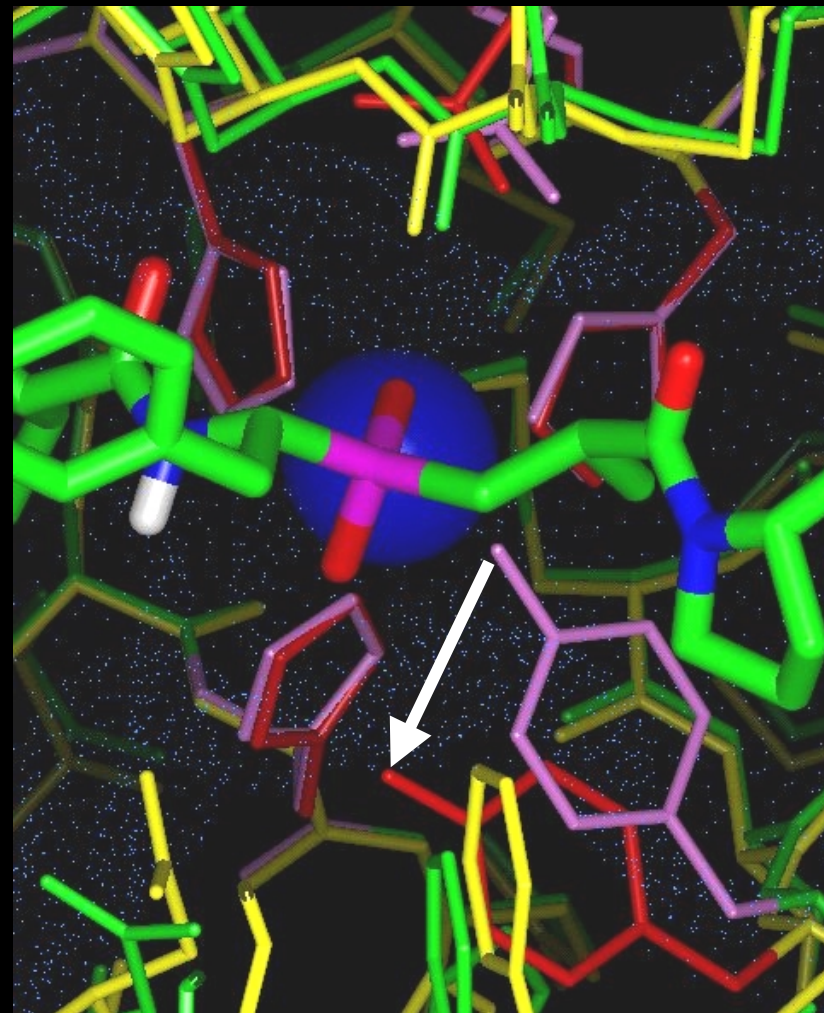
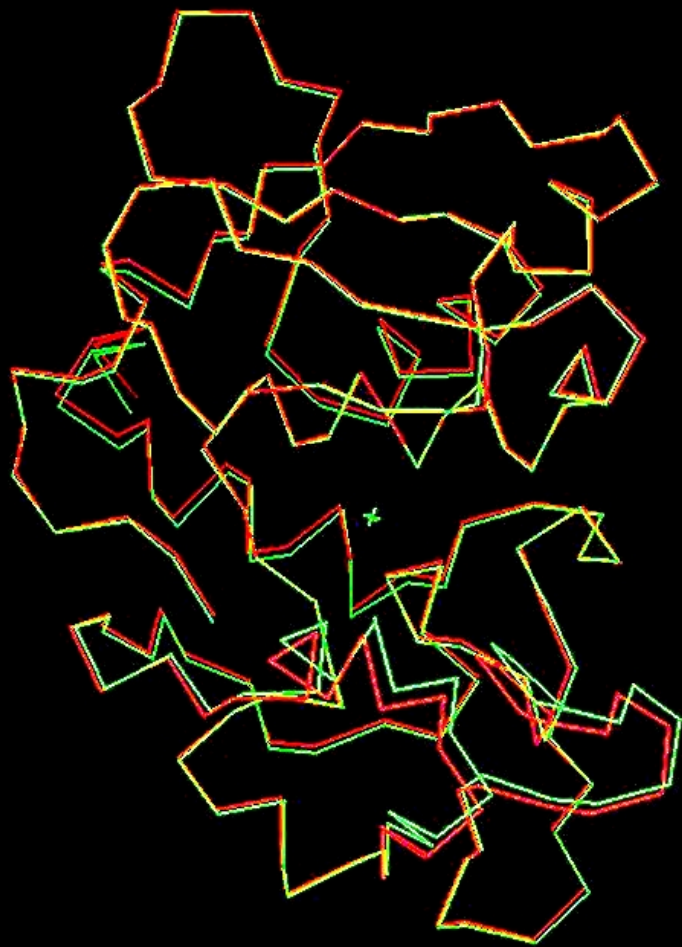
$$^a \alpha = 1 + \frac{[I]}{K_I} \quad \text{and} \quad \alpha' = 1 + \frac{[I]}{K_I'}$$

# Zink-Hydrolase-Inhibitor Komplex

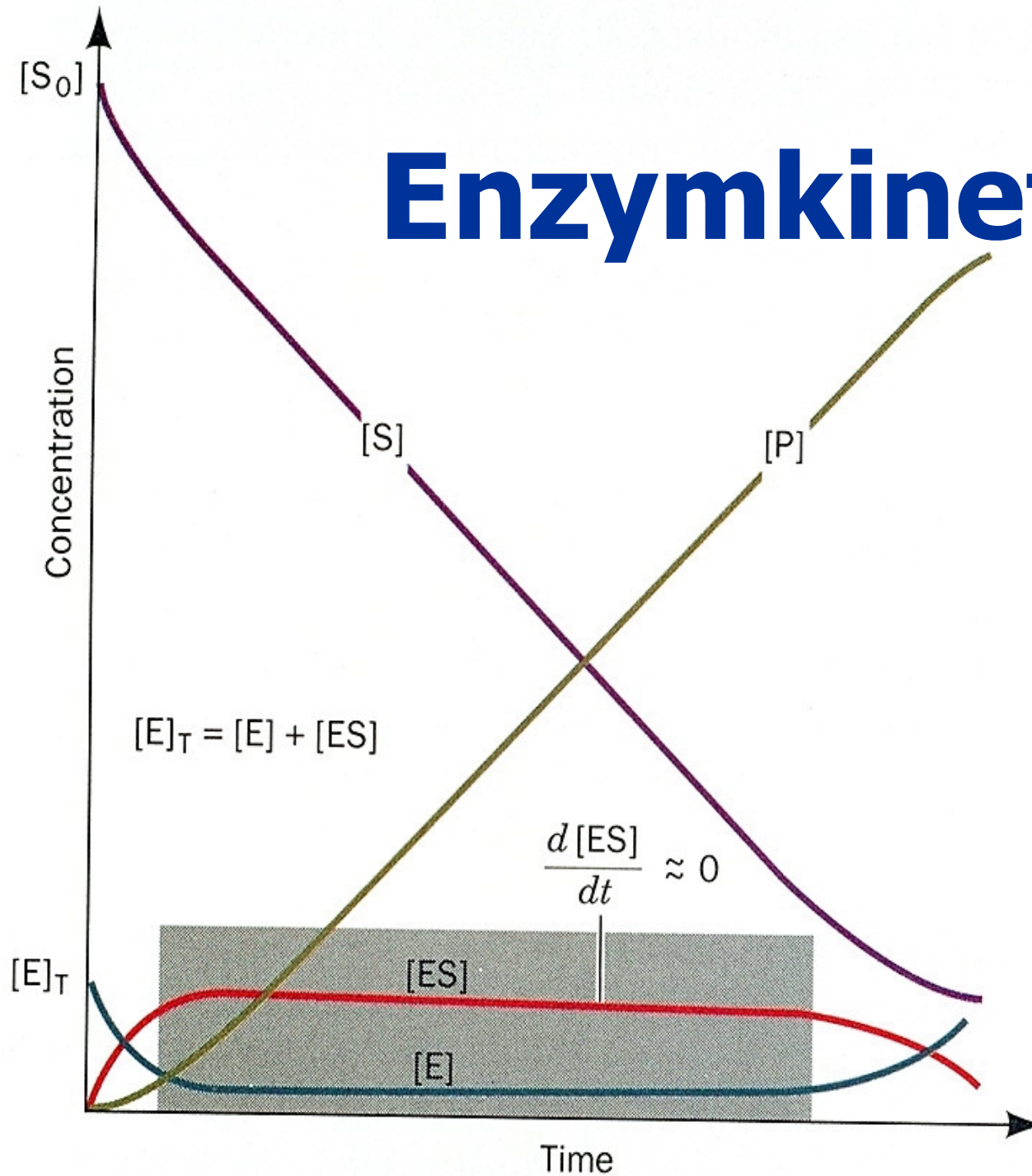


Grams, F., Dive, V., Yiotakis, A., Yiallourous, I., Vassiliou, S., Zwilling, R., Bode, W. & Stöcker, W. *Nature Struct. Biol.* 3, 671-675 (1996).

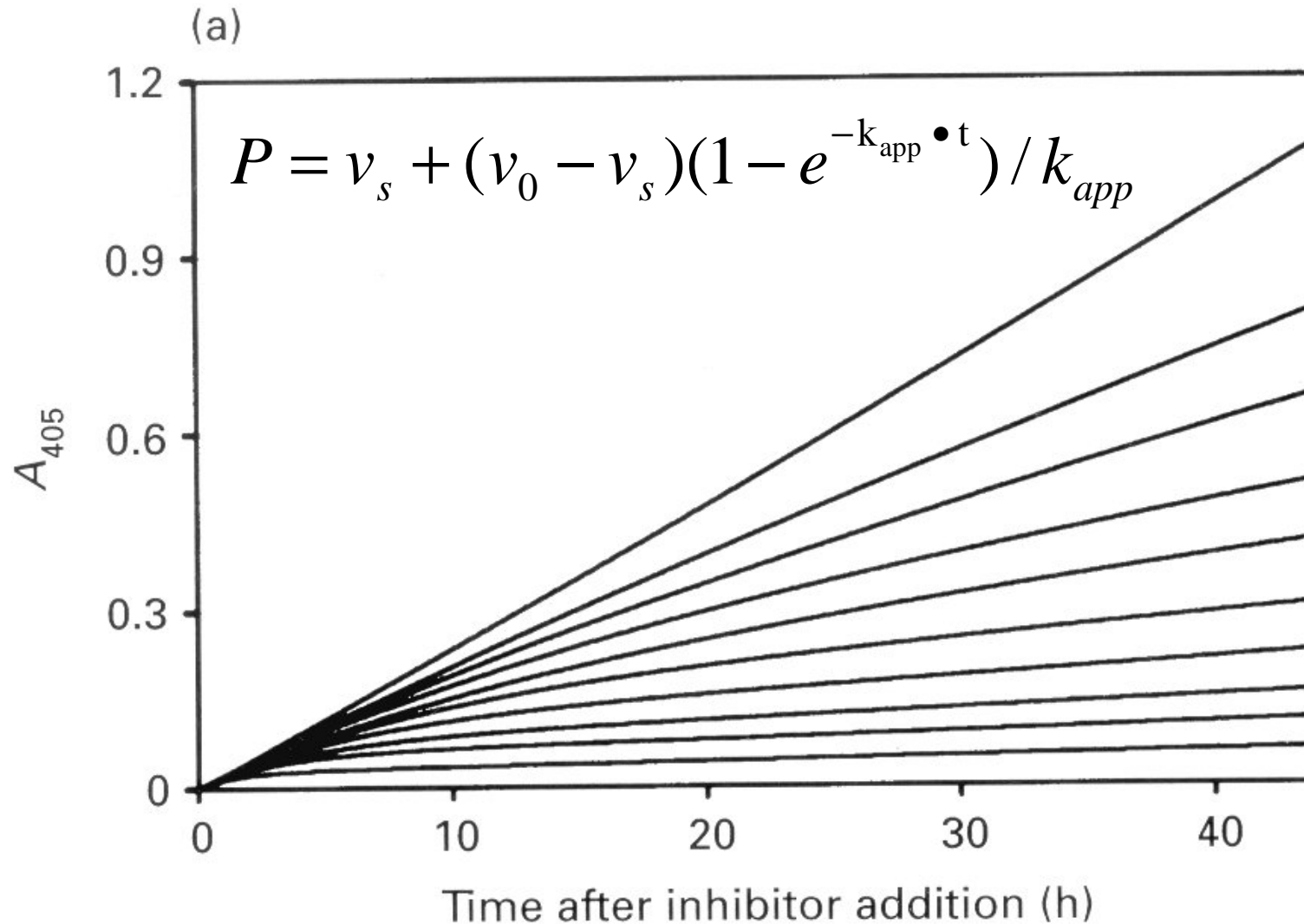
# Konformationsänderung (Induced Fit) bei der Katalyse



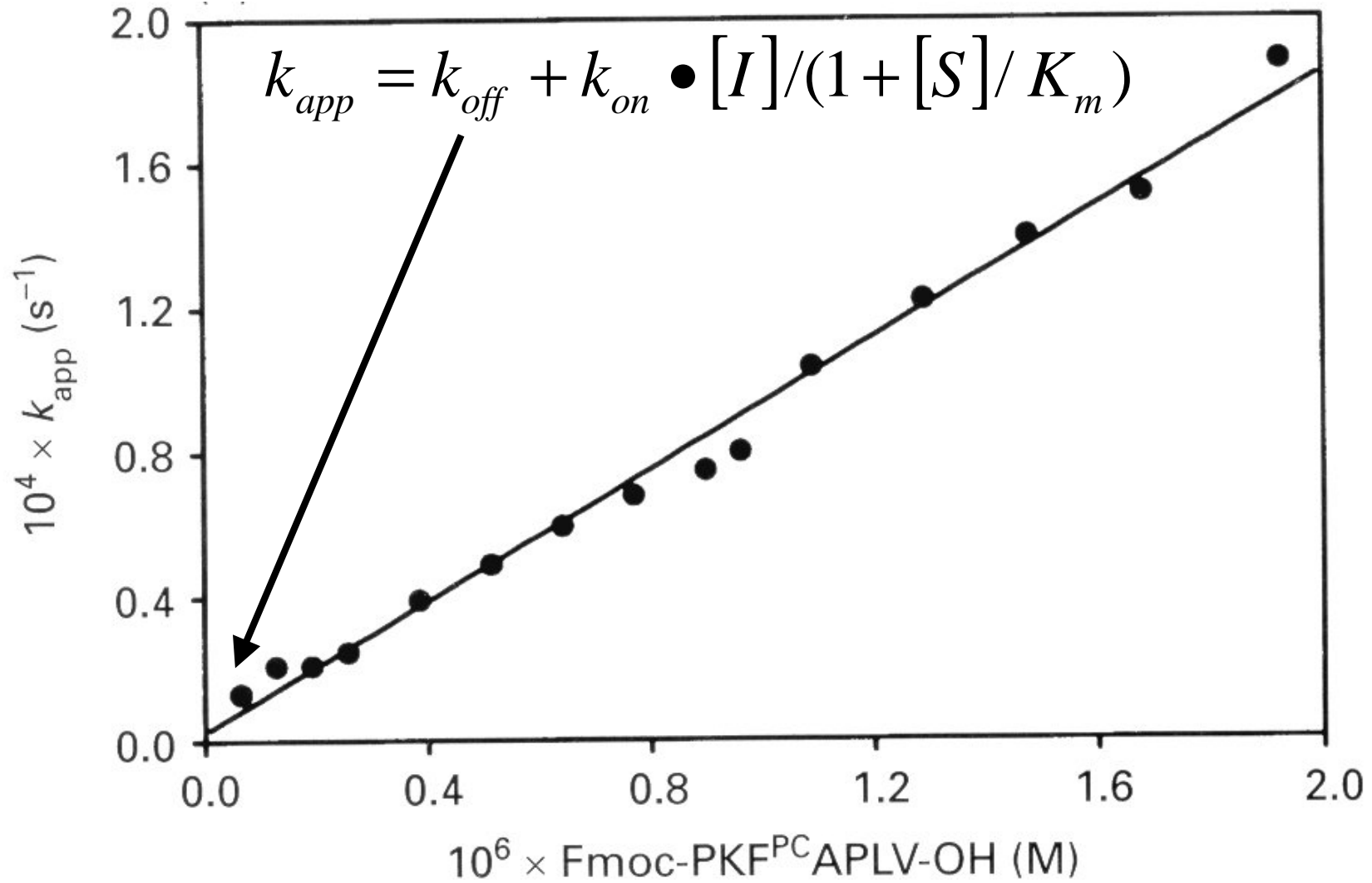
# Enzymkinetik



# Slow Binding Inhibition



$k_{off}$

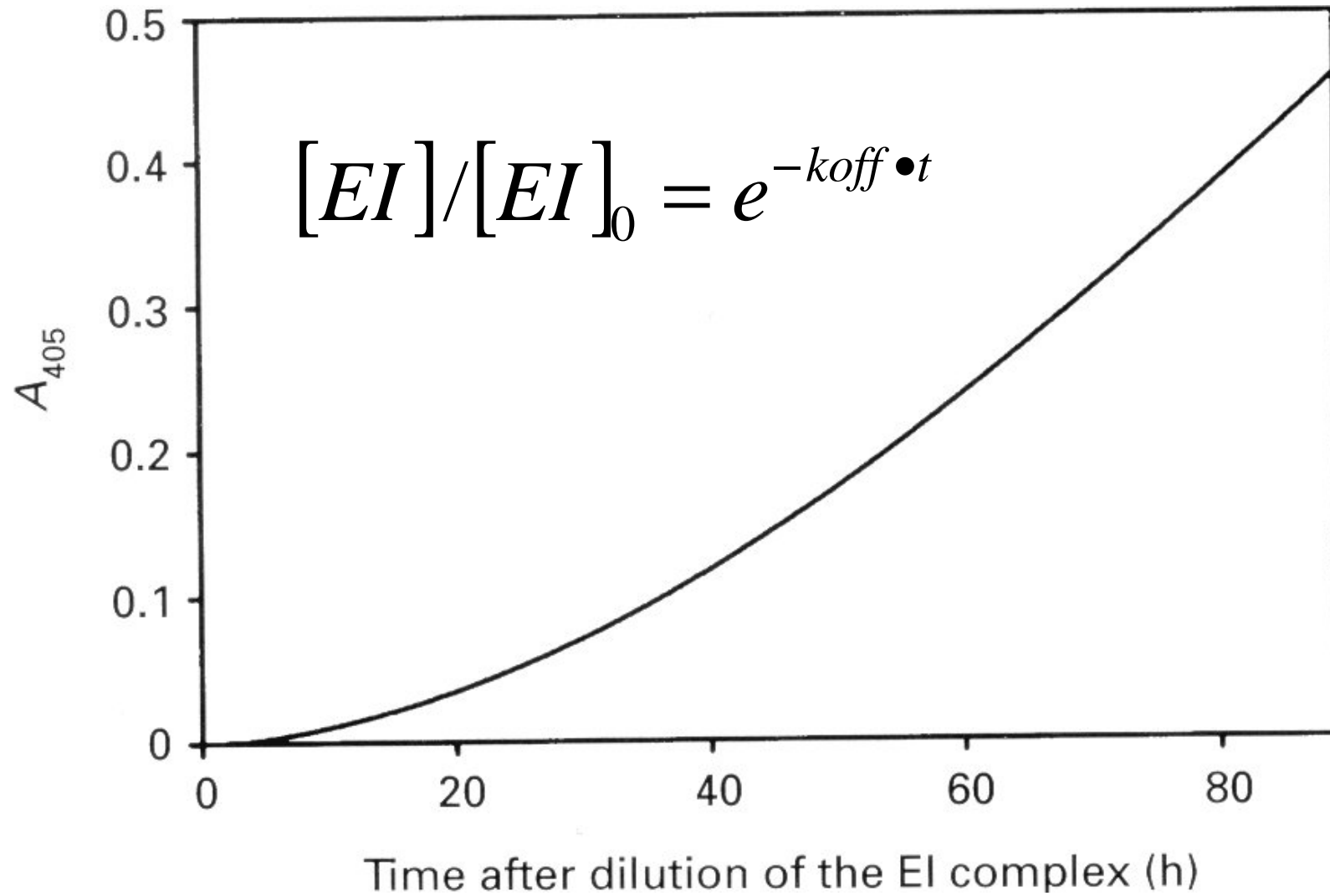


$$K_i = \frac{k_{off}}{k_{on}}$$

$$\frac{1}{t_{1/2}} = k_{off} + k_{on} [I]_o$$

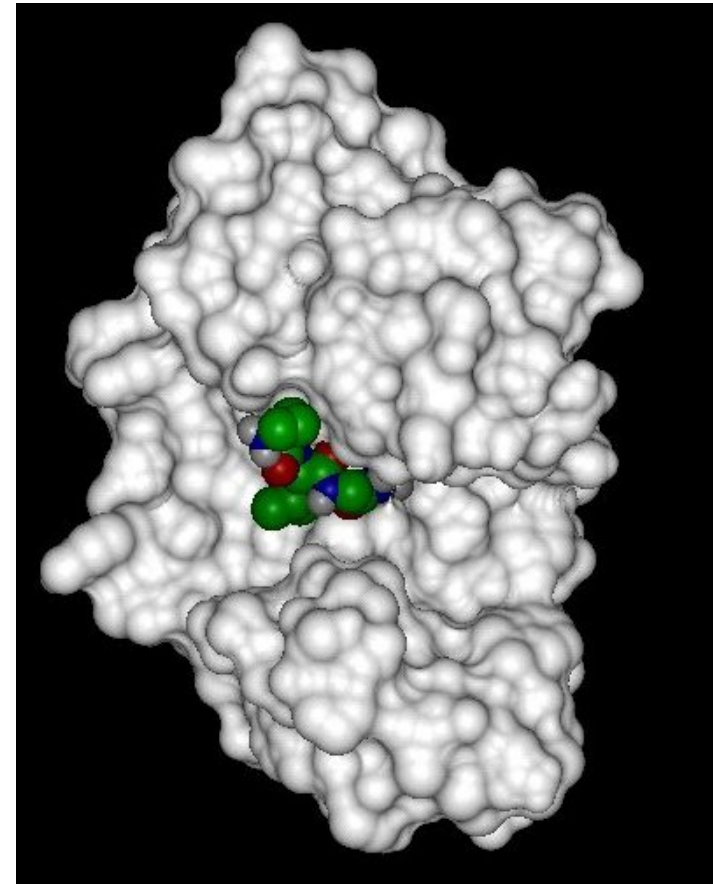
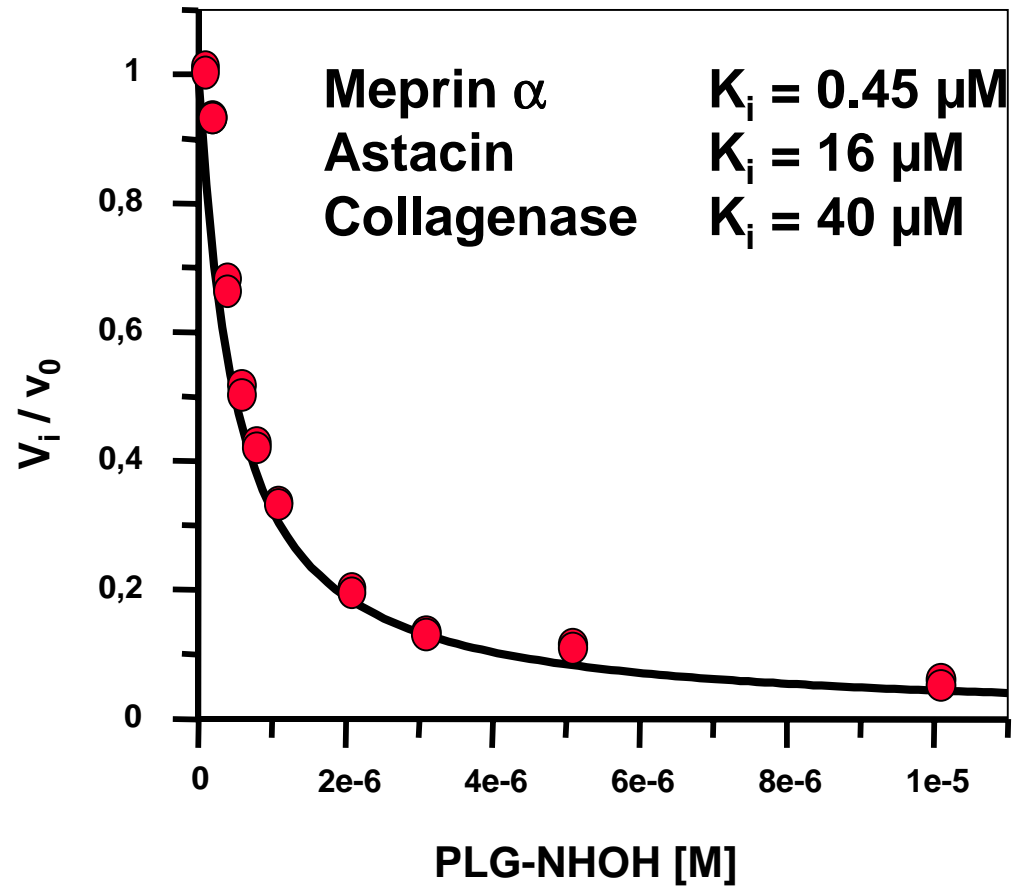


$k_{\text{off}}$



# Inhibition of Human Meprin $\alpha$ by PLG-NHOH

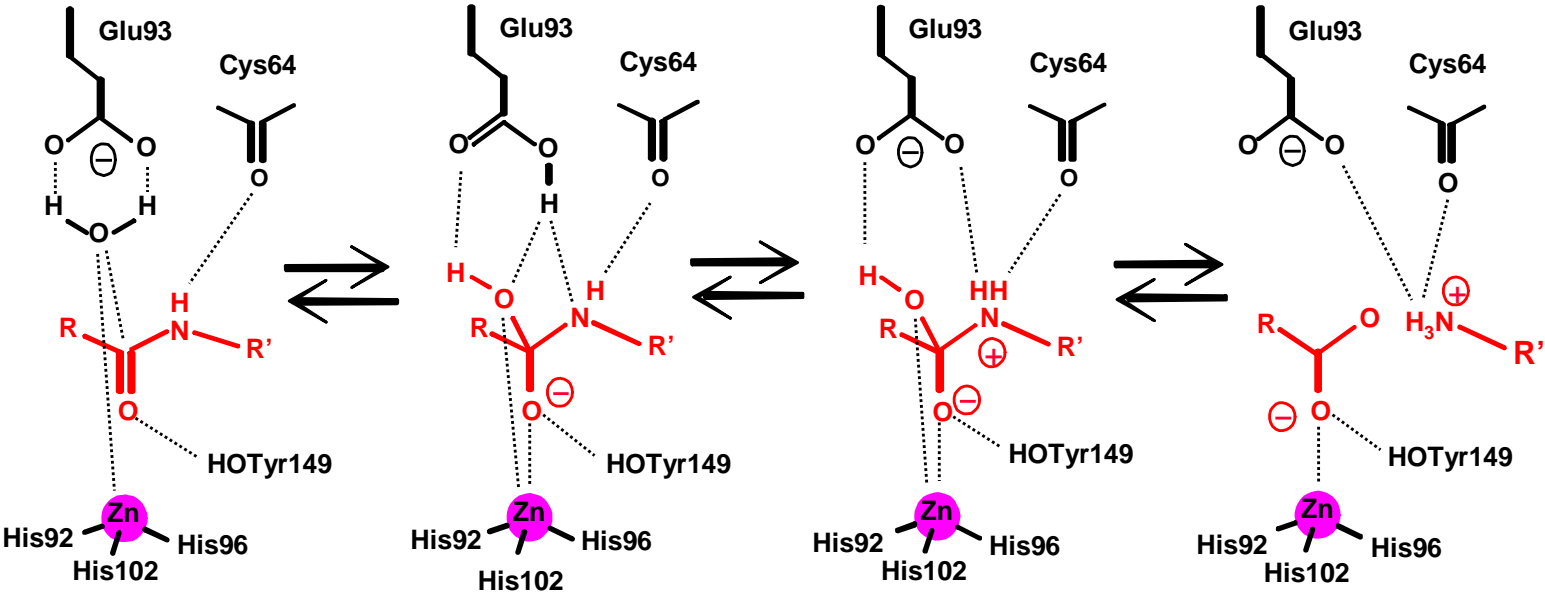
$$\frac{v_i}{v_o} = \sqrt{1 - \left[ (I_o + E_o + K_i) - (I_o + E_o + K_i)^2 - 4 \cdot E_o \cdot I_o \right] / 2 \cdot E_o}$$



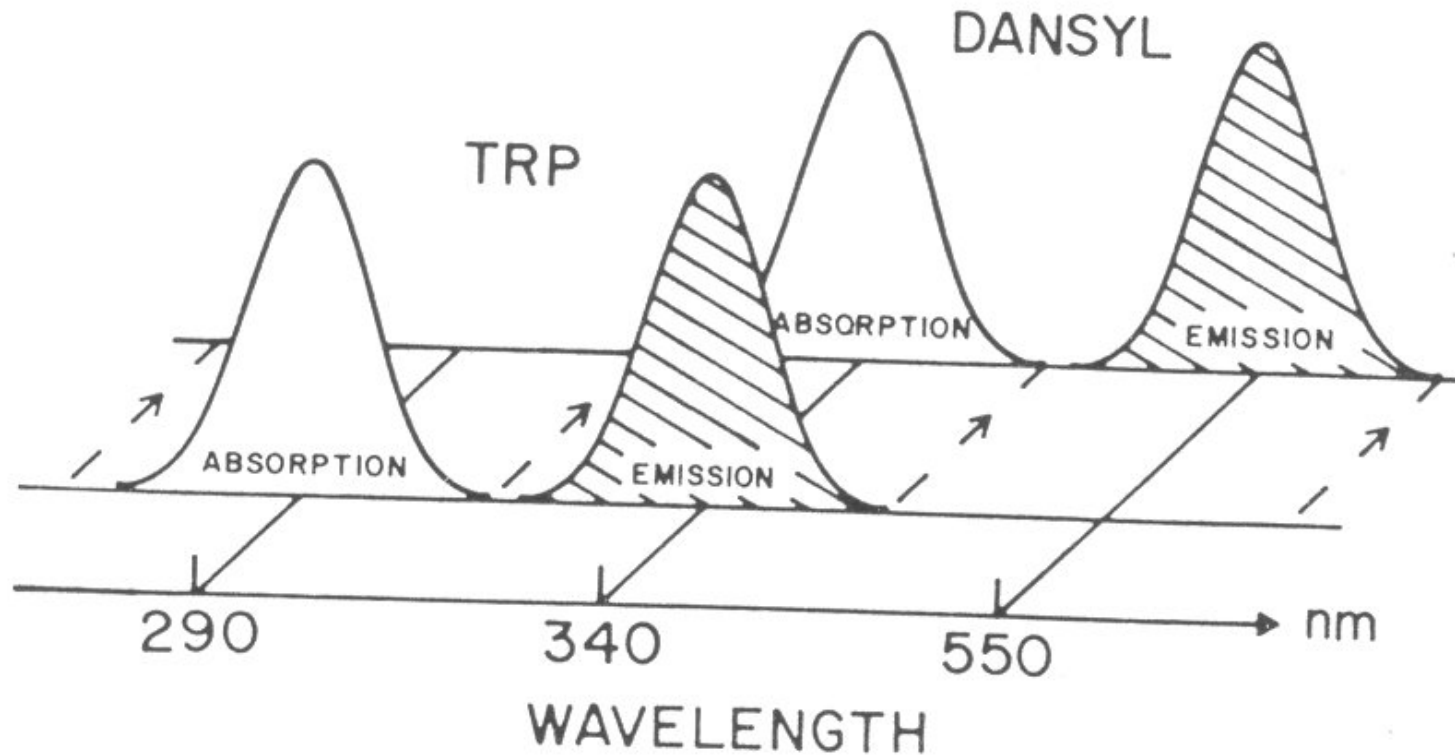
# Enzym-Hemmung durch Übergangszustand-Analoga

$P_4$	$P_3$	$P_2$	$P_1$	$P_1'$	$P_2'$	$P_3'$	$P_4'$	$k_{on}$ [M <sup>-1</sup> s <sup>-1</sup> ]	$k_{off}$ [10 <sup>-4</sup> s <sup>-1</sup> ]	$K_i$ [μM]	$t_{1/2}$ (@[I]=K <sub>i</sub> )
								14	2	14	42 min
										580	
								52	0.1	0.2	11 h
										11	
								344	0.4	0.1	4 h
								97	0.04	0.04	34 h
								168	3	1.8	27 min
								163	2	1.3	38 min

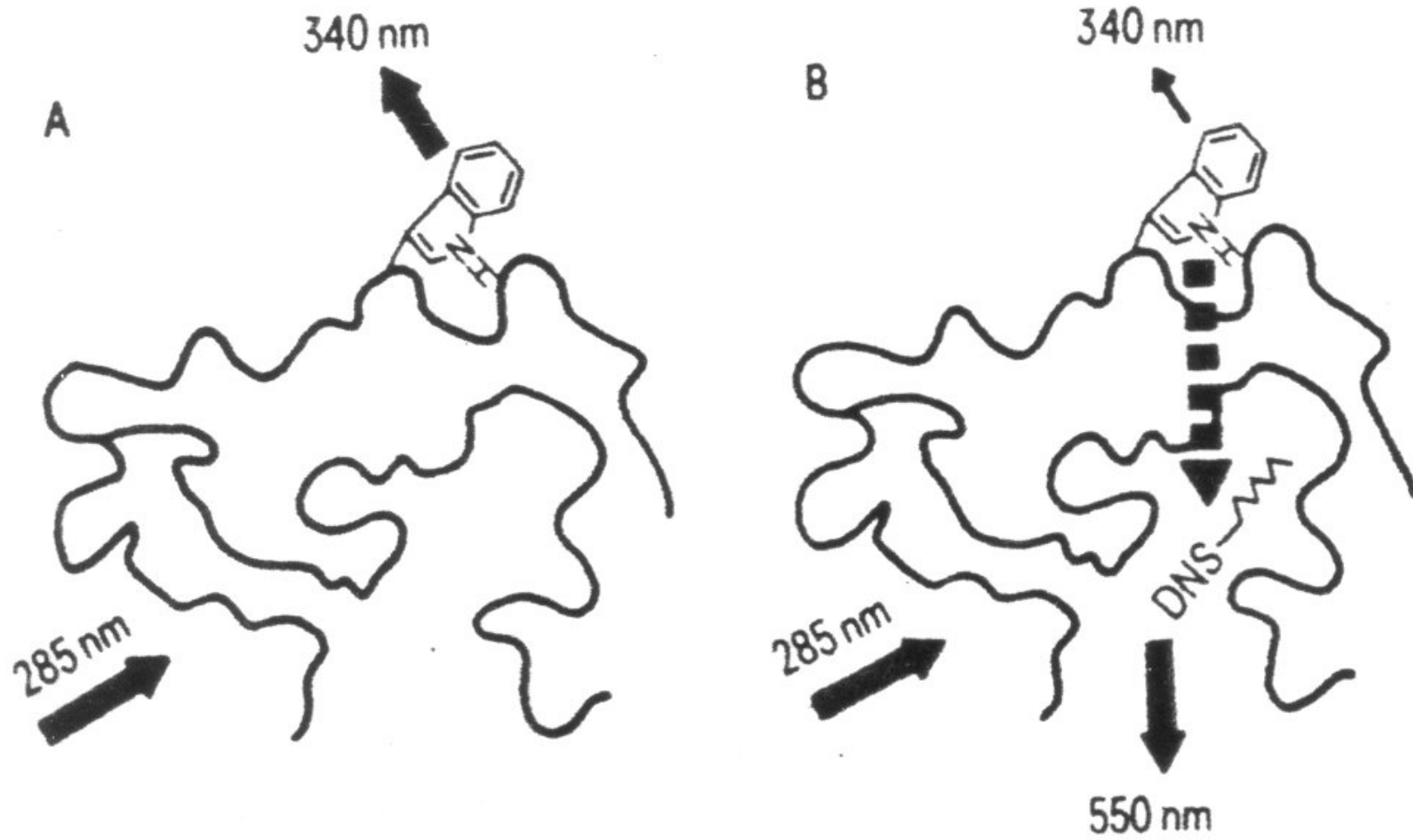
# Katalyse durch Zink-Hydrolasen



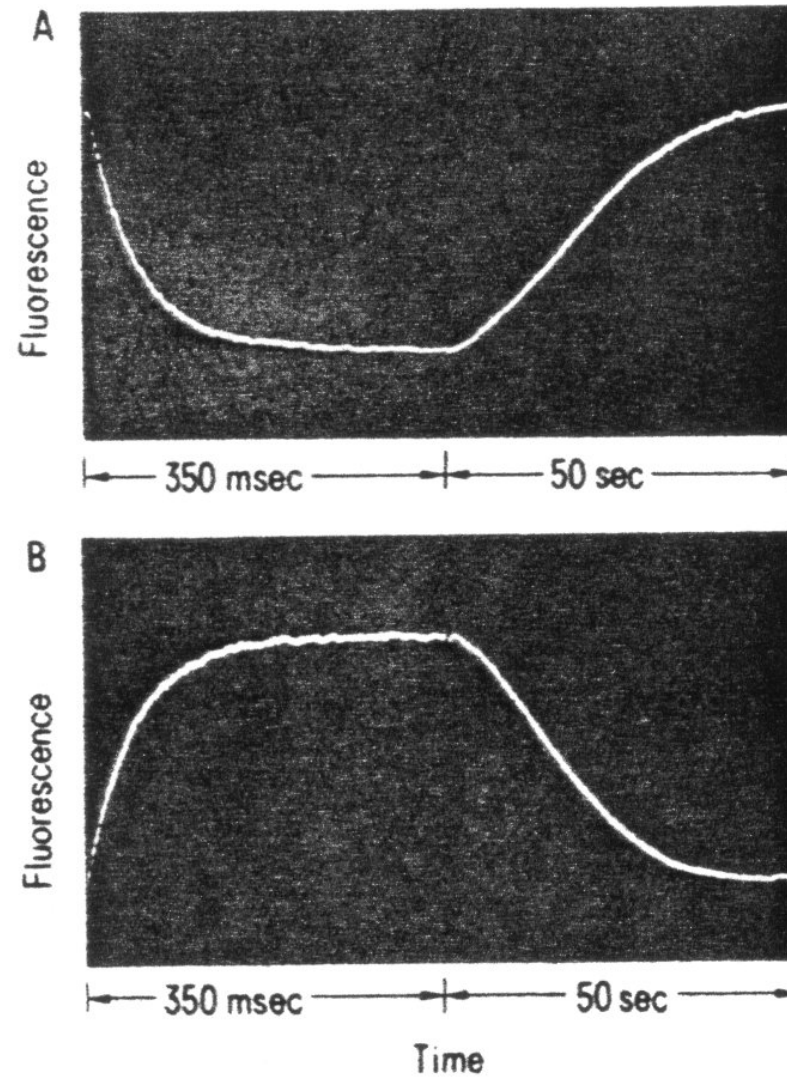
# Radiationless Energy Transfer RET (FRET)



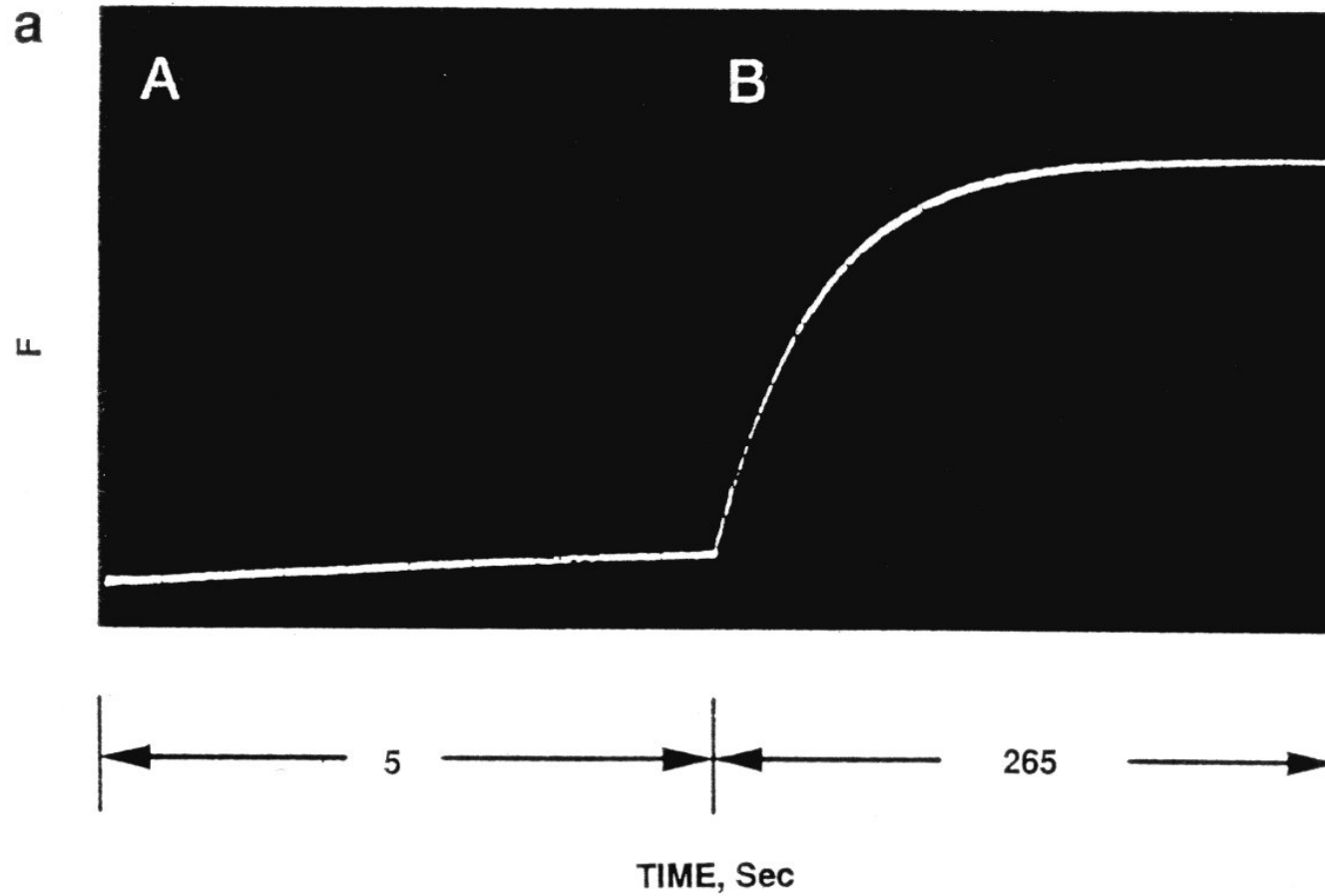
# ES-Komplex



# Tryptophan oder Dansyl Fluoreszenz



# Quenched Fluorescent Substrate





# Stopped Flow Kinetik





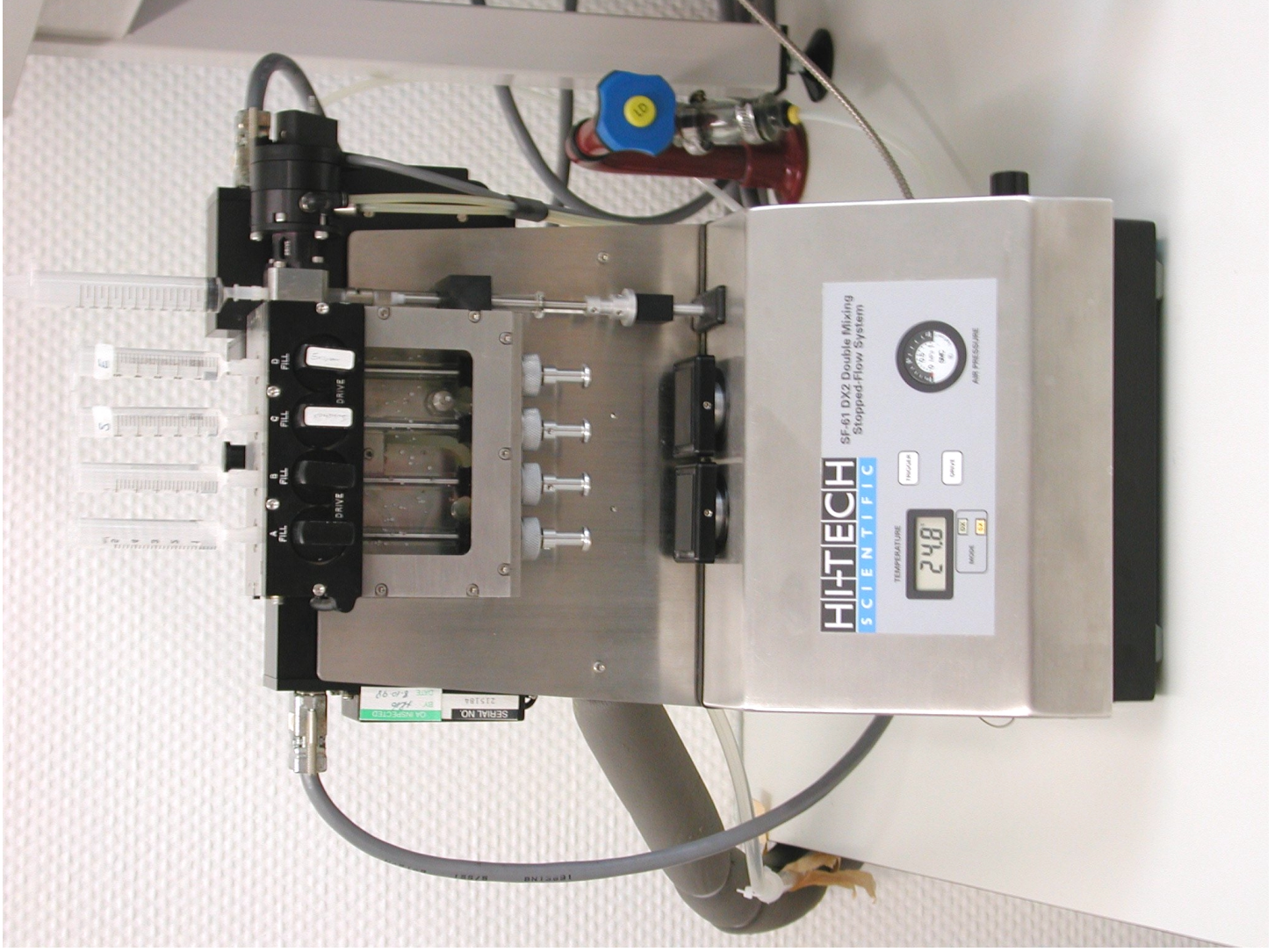


Fig.1.2.3a: Single Mixing Mode: START

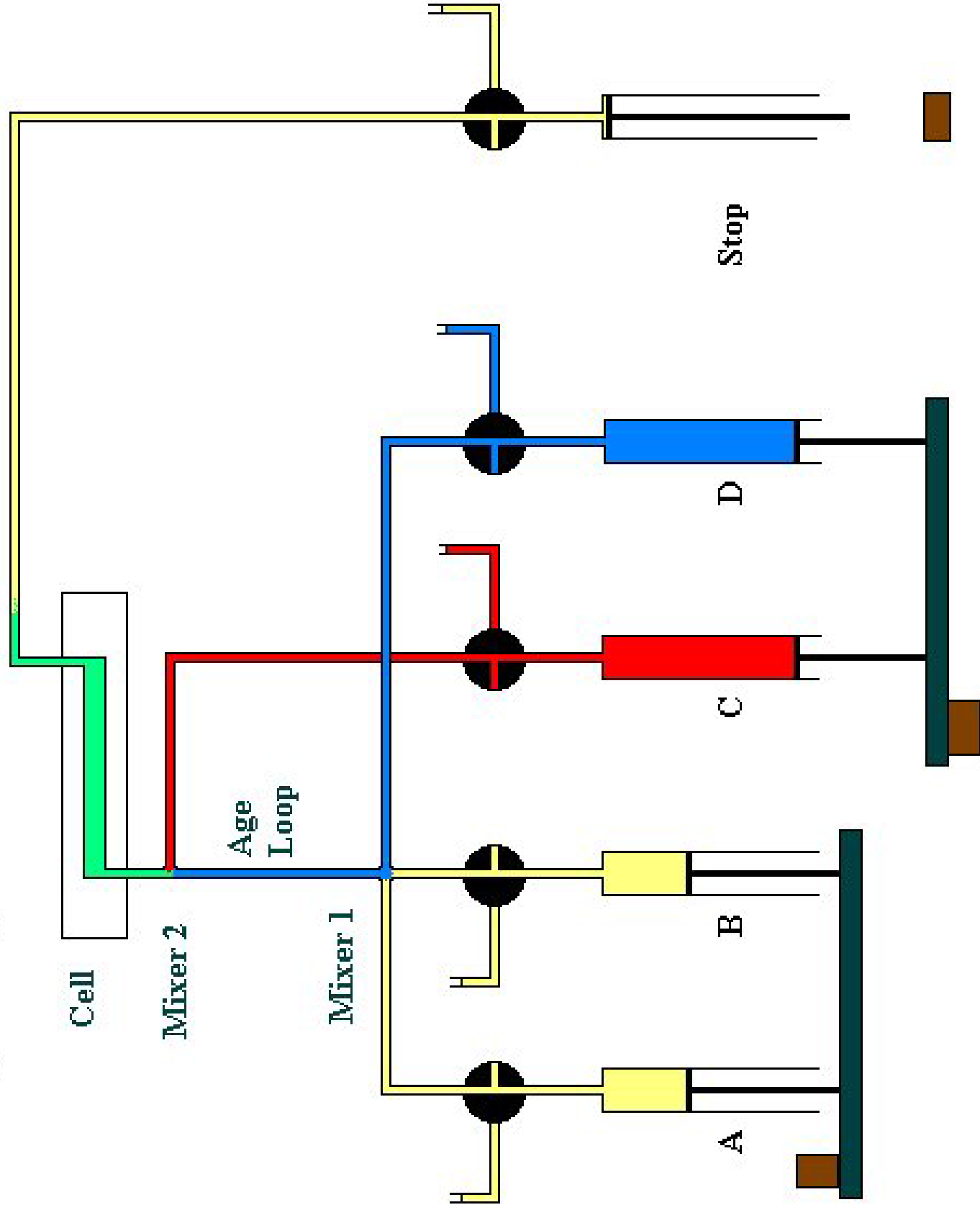


Fig.1.2.3b: Single Mixing Mode: FINISH

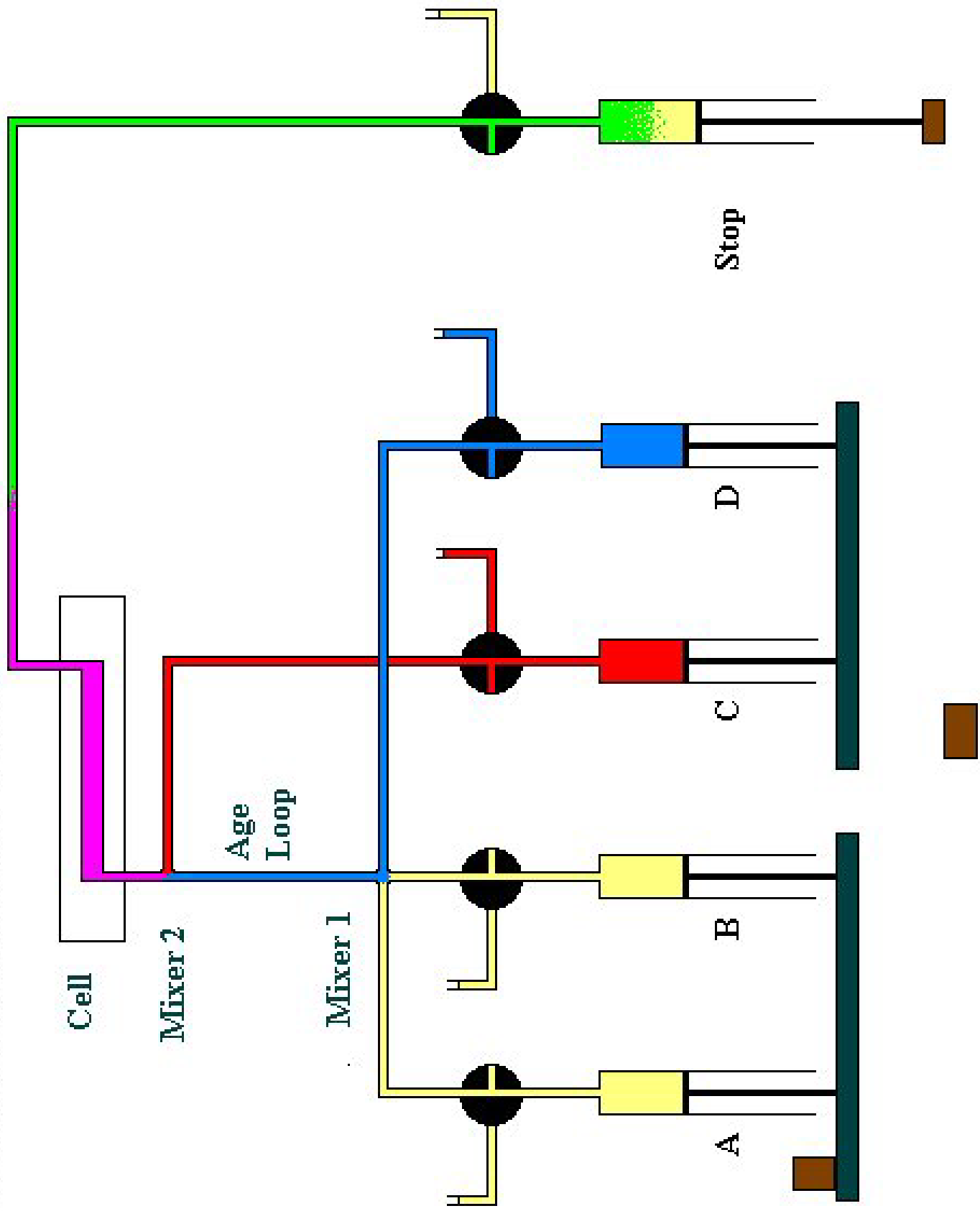


Fig.1.2.2a: Double Mixing Mode: START

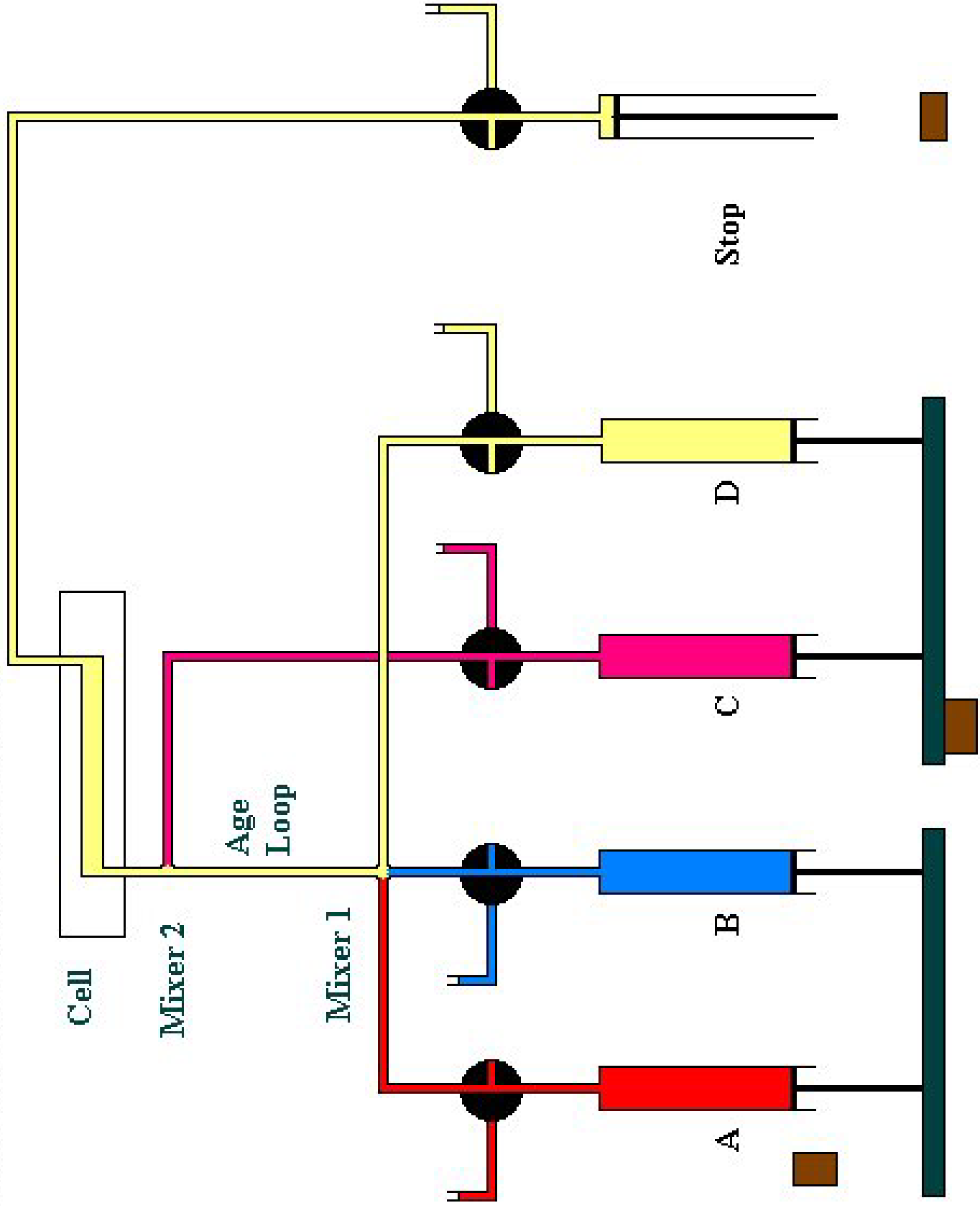


Fig.1.2.2b: Double Mixing Mode: FIRST STOP

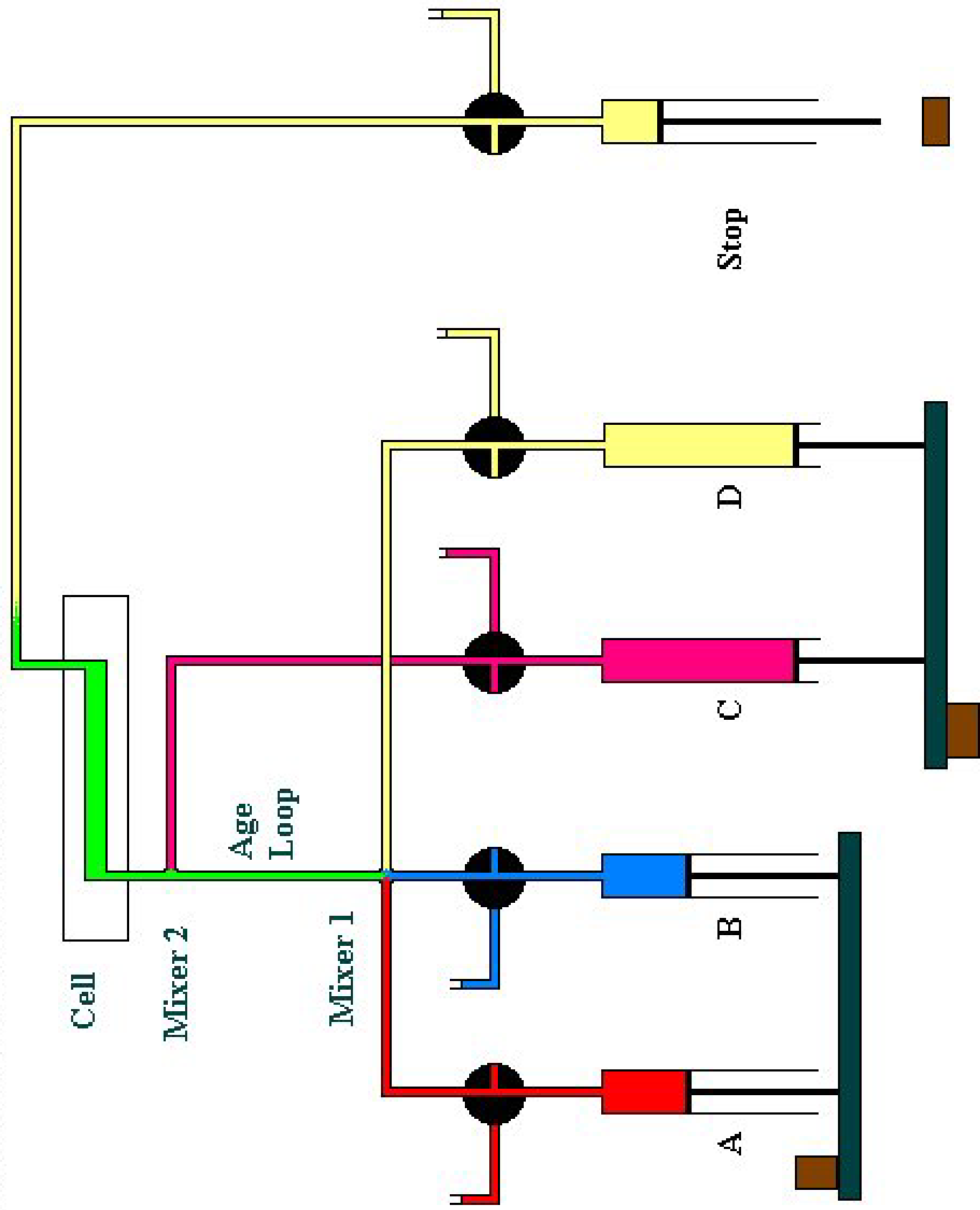


Fig.1.2.2c: Double Mixing Mode: FINISH

